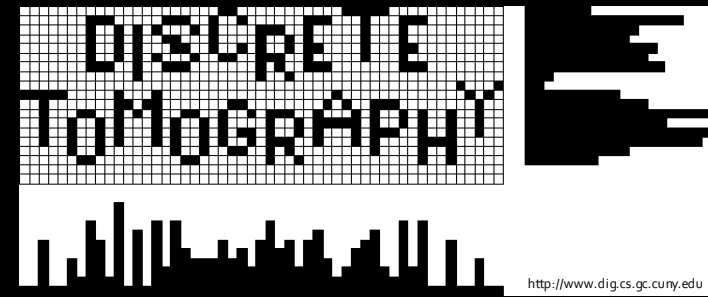


Pozitron Emissziós Tomográfia

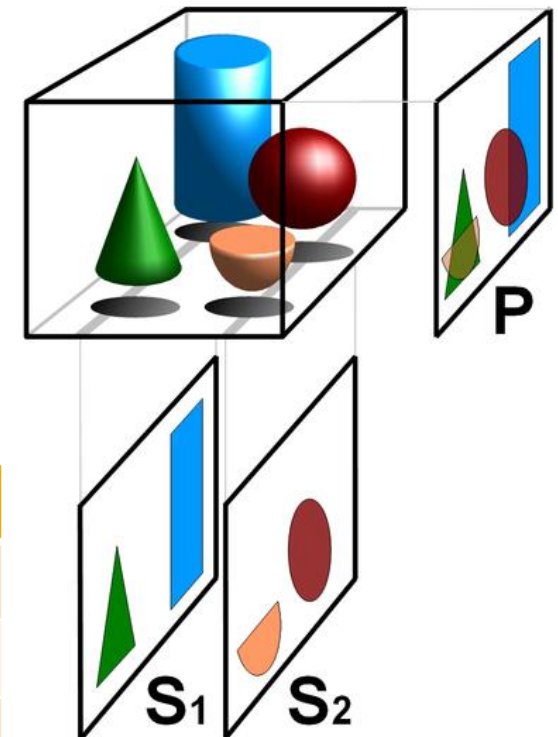
PET

Tomográfia



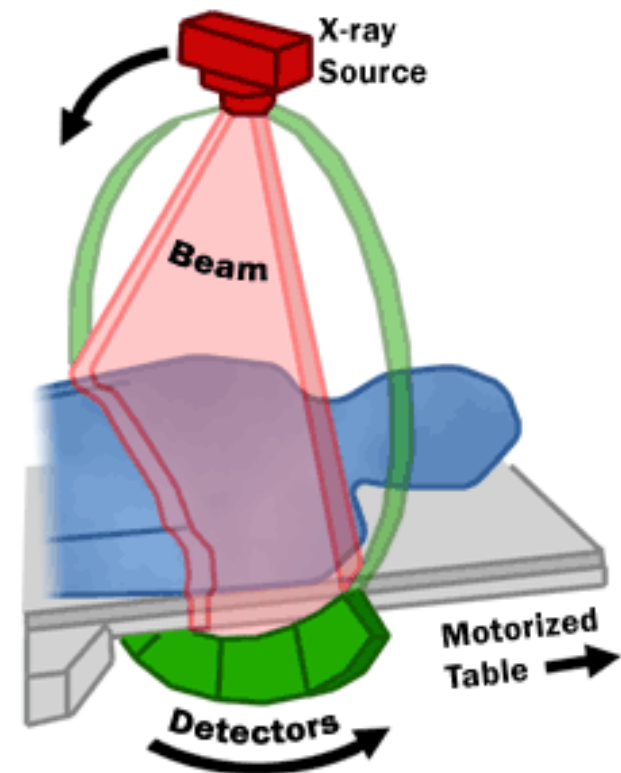
- Vetületi képekből állítsuk elő a (3D) objektumot vagy függvényt
- A vetületi képek előállítására különféle fizikai jelenségeket használunk, pl:

Fizikai jelenség	„Tomográfias módszer”
Látható fény	Térlátás
Röntgen-sugár	CT
Gamma-sugár	SPECT
Rádió-hullám	MRI
Pozitron-elektron ütközés	PET

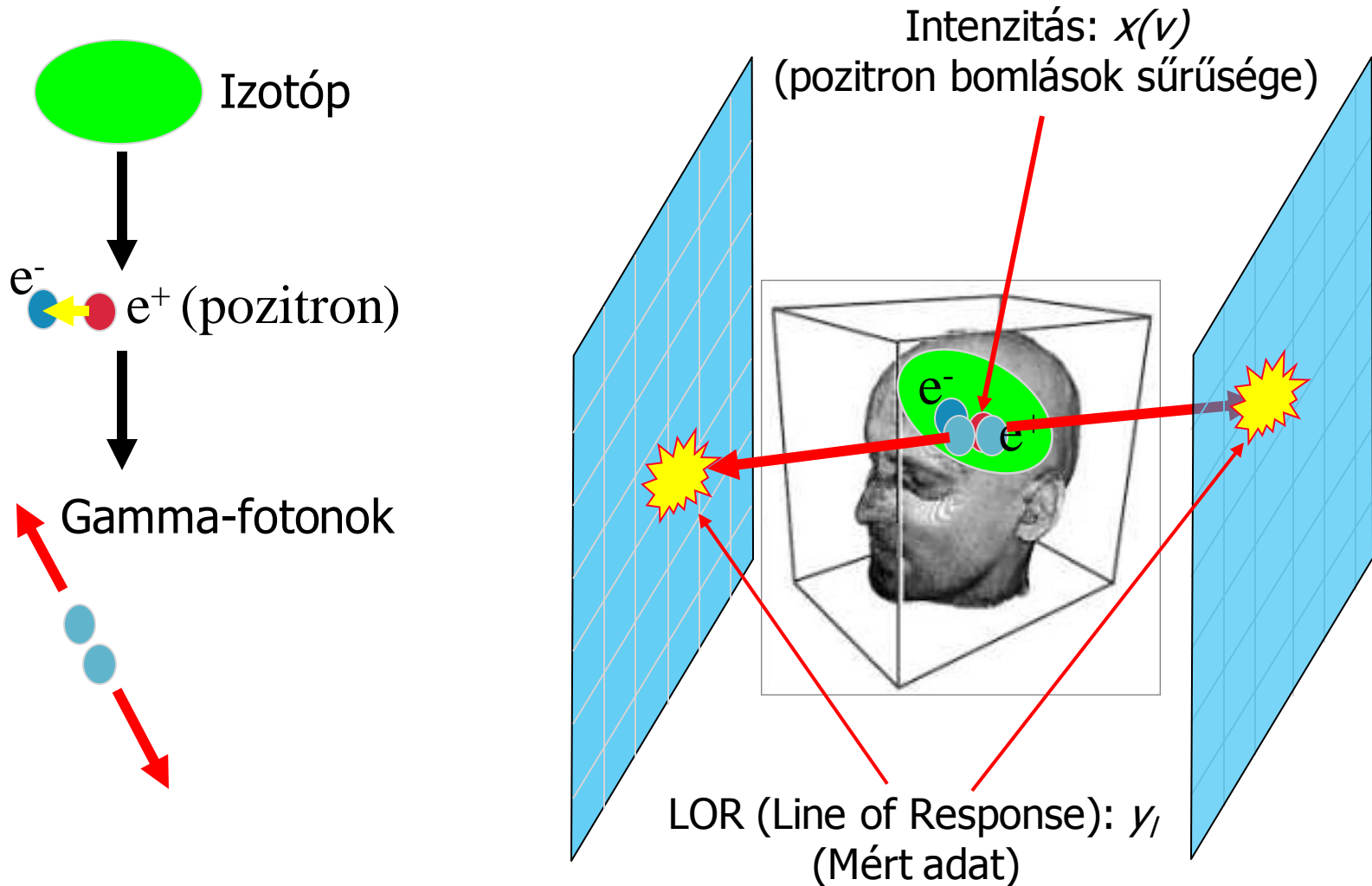


Komputertomográfia (CT)

- Mérési adat: a röntgen-sugár csillapodása egy adott út mentén
 - Az anyagsűrűség függvénye
- Kimenet: anyagsűrűség a tér pontjaiban

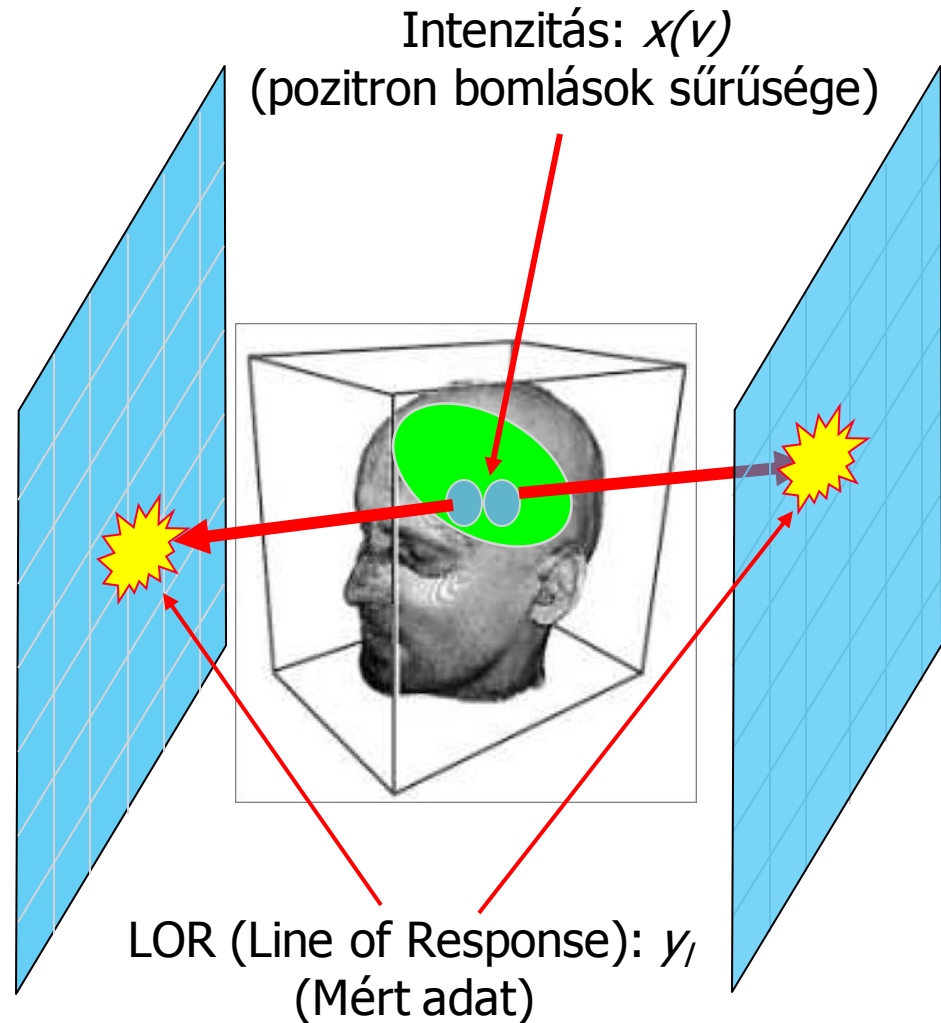


Pozitron Emissziós Tomográfia



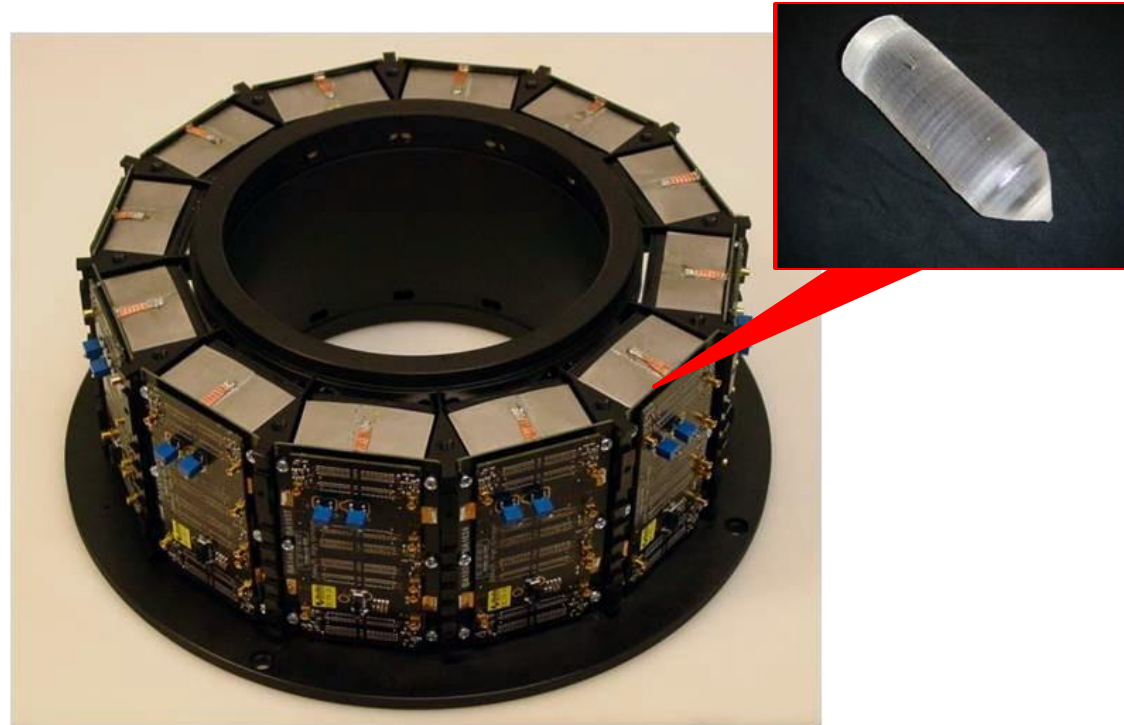
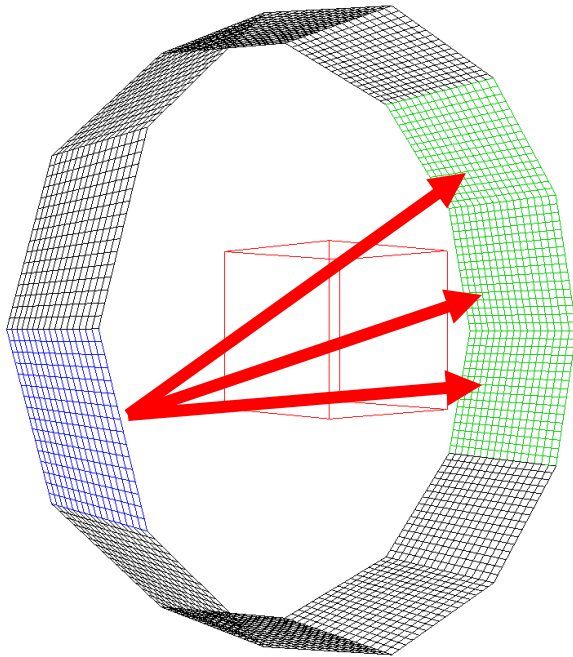
Pozitron Emissziós Tomográfia

- A készülék az egyidejű fotonbecsapódásokat regisztrálja (számolja)



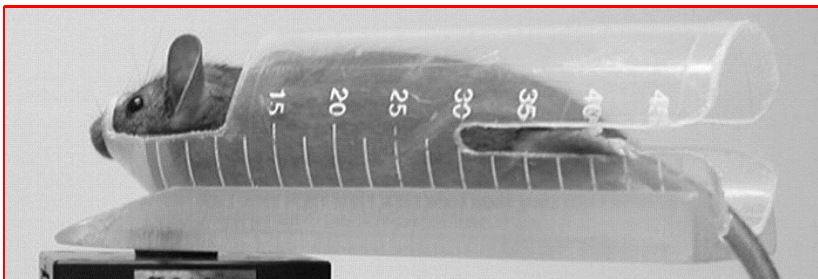
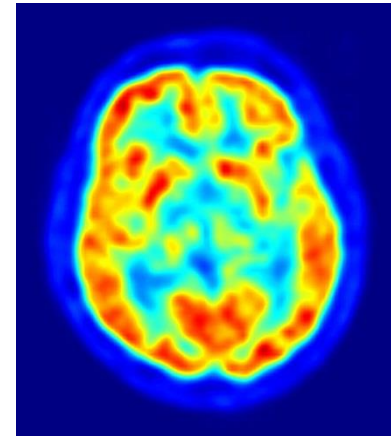
Pozitron Emissziós Tomográfia

- A detektorlapokat (panel) gyűrű alakban helyezik el
- Minden panelt 2D rácson elhelyezett kristályok alkotnak
- A mérés 5D adat (párindex és modulonként 2-2 koordináta)
- Koincidencia



Mire jó?

- A vizsgálat során radioaktív kontrasztanyagot juttatnak a szervezetbe, amelyet a sejtek az anyagcseréjük során felvesznek (pl. valamilyen cukoroldat)
- A vizsgálat célja a kontrasztanyag térbeli sűrűségeloszlásának meghatározása
- Így nyomon követhetővé válik az anyagcsere gyorsasága
 - Diagnosztika: a daganatos sejtek anyagcseréje jóval intenzívebb
 - Szervműködés: agyműködés feladatok elvégzése közben
 - Kisállat PET: gyógyszerkísérletek



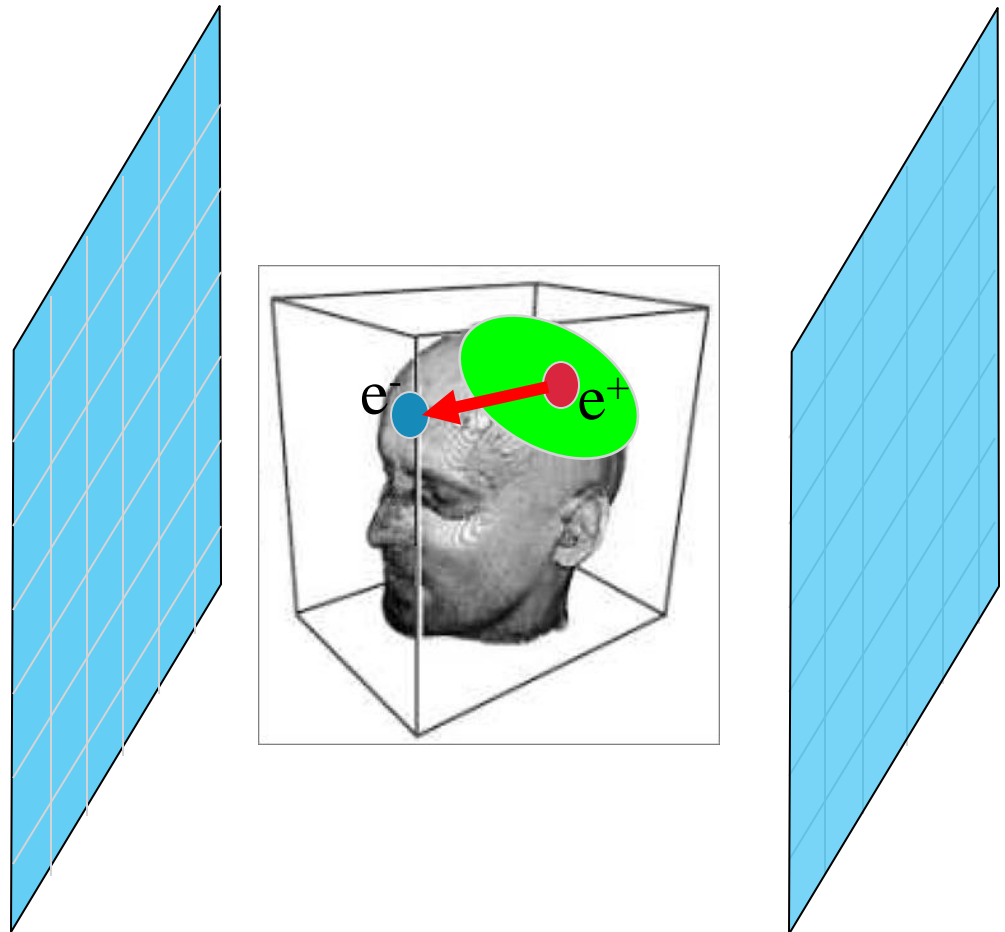
Fizikai hatások

- A pozitron születésétől a γ -foton detektálásáig több fizikai jelenség megy végbe, melyeket különböző mértékben modellezünk, közelítünk
- Pozitron vándorlás
- Direkt hatás
- γ -foton szóródás, elnyelődés
- ...

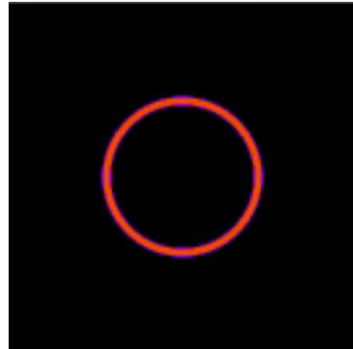
- A rekonstrukciós képminőségre gyakorolt hatásuk mértéke elsősorban a tomográf méretétől függ (kisállat, humán stb.)

Pozitron vándorlás

- A pozitron létrejöttét követően néhány cm-t is vándorolhat, mielőtt az elektronba ütközik
- A vándorlás várható úthossza az alkalmazott kontrasztanyagtól és az elektronsűrűségtől függ (páciensenként más, a CT alapján számítható)
- Általában a bomlásfüggvény helyfüggő elkenésével modellezzik

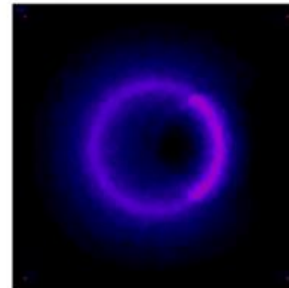
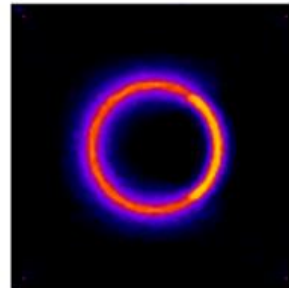


Ha figyelmen kívül hagyjuk...

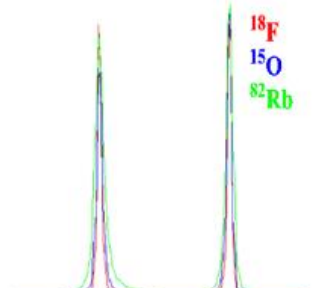
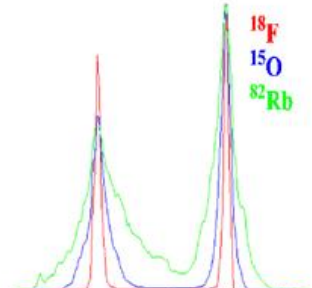
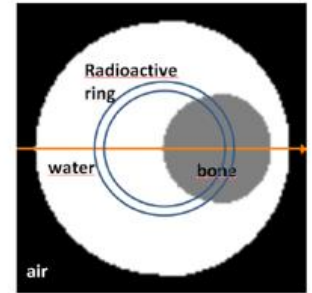
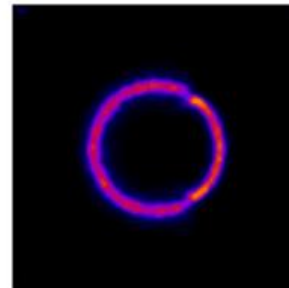
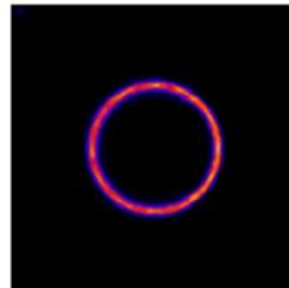


Fantom

Pozitronvándorlás
nélkül



Pozitronvándorlás
szimulációval



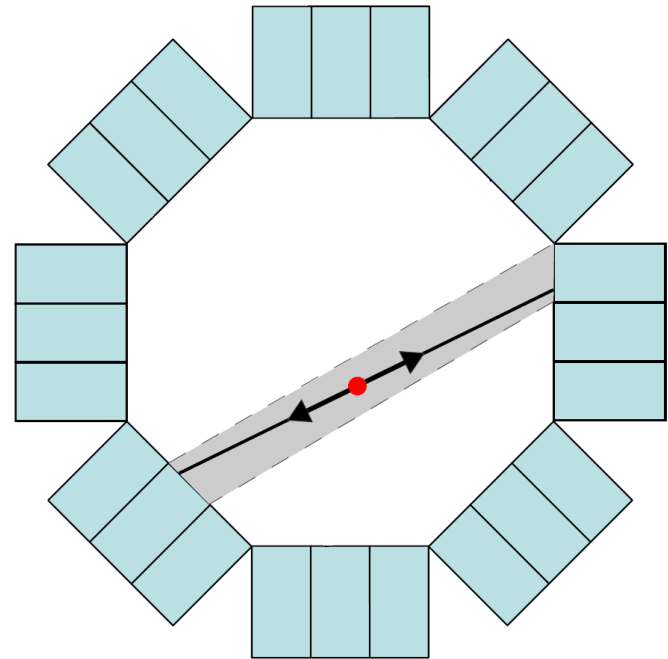
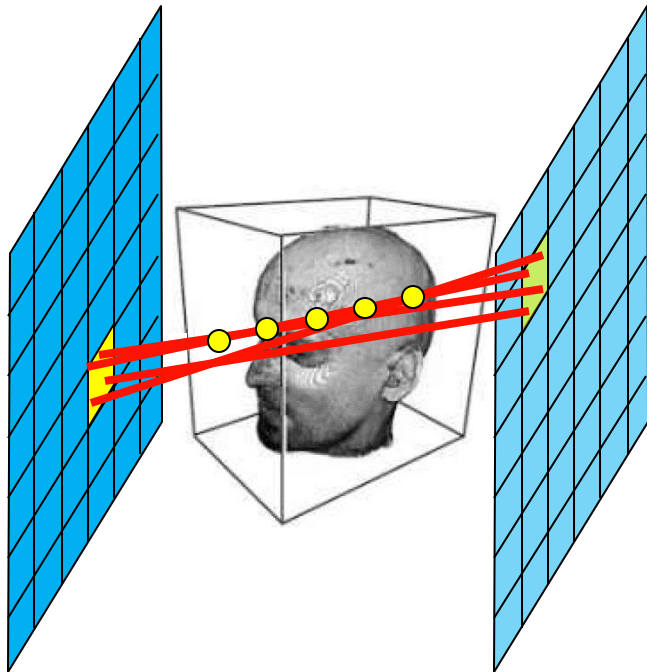
line profiles

Max úthossz (víz, mm)	^{18}F	^{15}O	^{82}Rb
	2.3	7.9	16.7

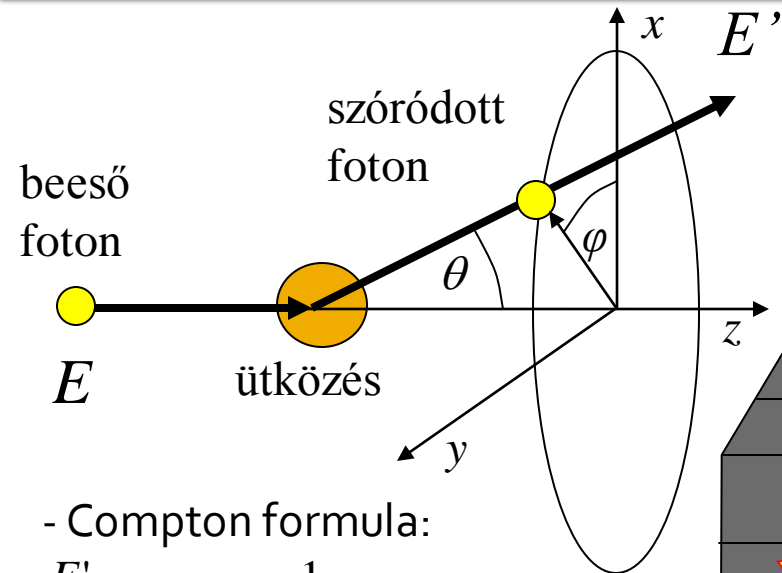
Vonalprofilok

Direkt hatás

- A fotonok nagy része nem szóródik
 - A fotonpár útja egy egyenes
 - Egy adott detektorpárra hatással lévő fotonok keletkezési helye jól körülhatárolt: a detektált (nem szóródott) fotonpárok a detektorok felületét összekötő szakaszok mentén keletkeztek



Szóródás, elnyelődés



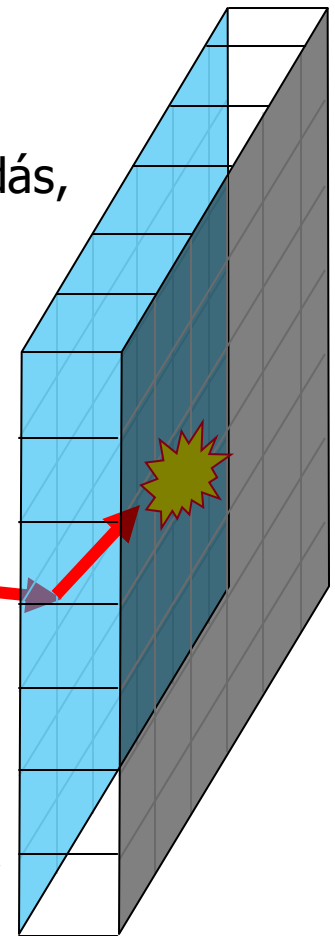
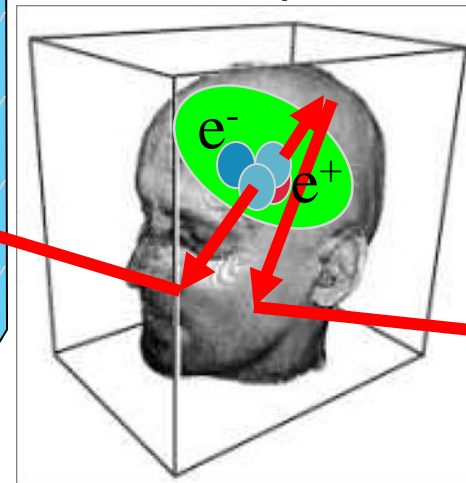
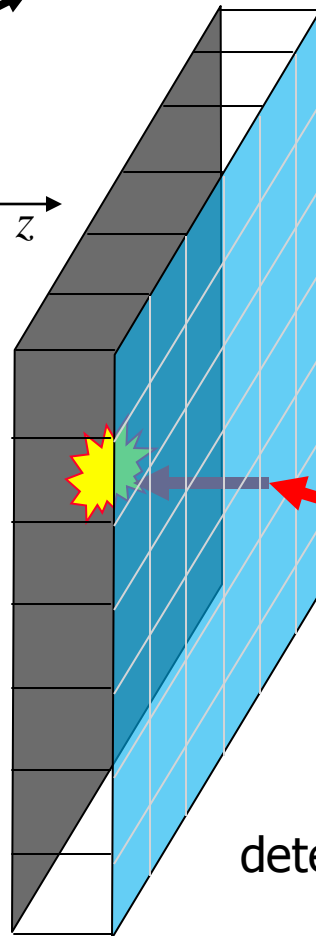
- Compton formula:

$$\frac{E'}{E} = \frac{1}{1 + \frac{E}{m_e c^2} (1 - \cos \theta)}$$

- Klein-Nishina:

$$P(\theta) = C \left(\frac{E'}{E} + \left(\frac{E'}{E} \right)^3 - \left(\frac{E'}{E} \right)^2 \sin^2 \theta \right)$$

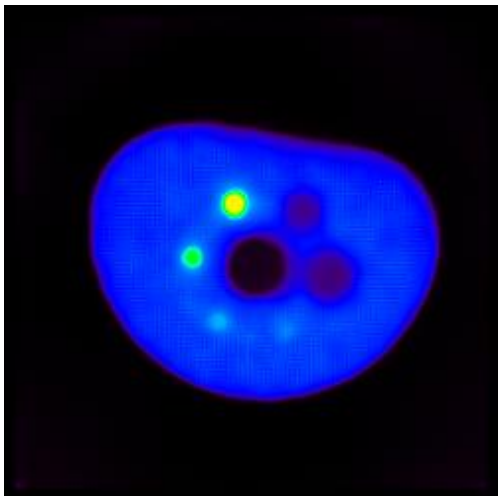
Elektronsűrűség
(anyagfüggő – CT mérésből)



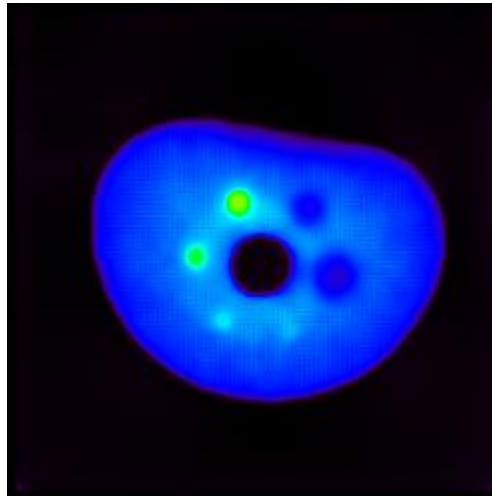
detektoron belüli szóródás, elnyelődés

Ha figyelmen kívül hagyjuk...

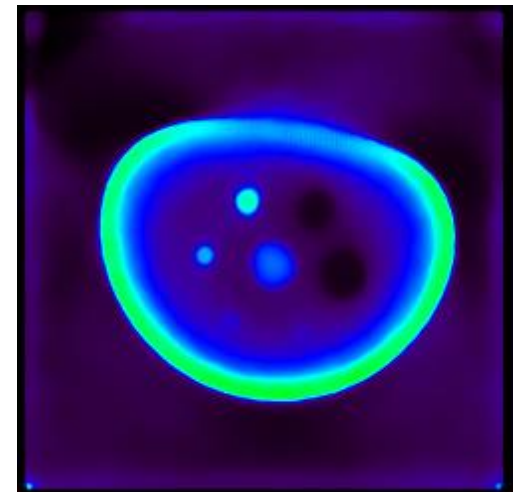
Szóródás+elnyelődés



Elnyelődés

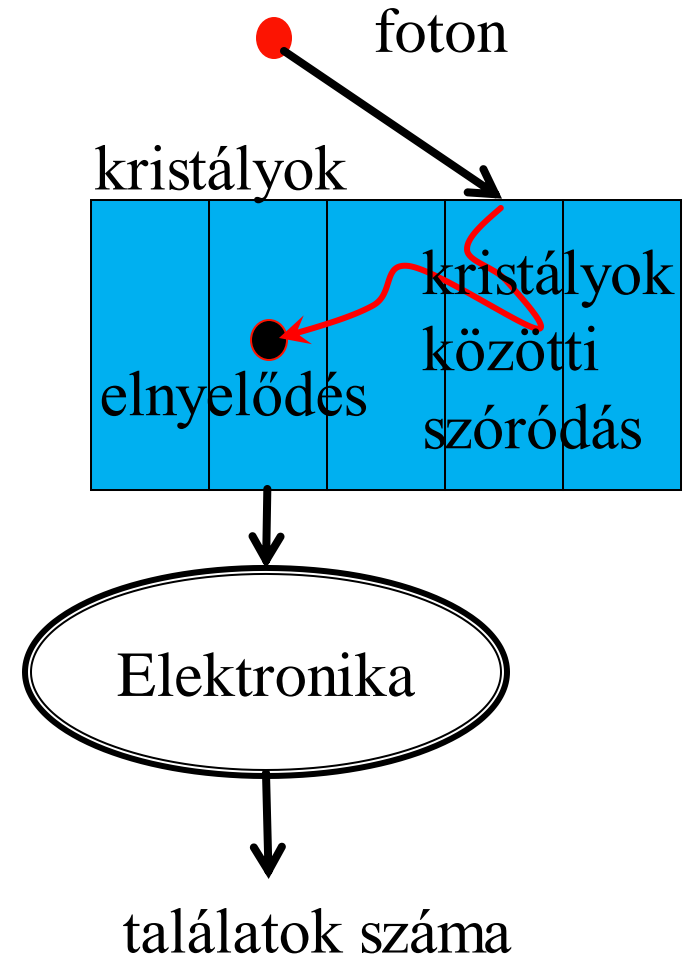


Csak geometria



Detektormodell

- Átszóródás: a foton a kristályok közt átszóródhat, így nem ott detektálódik, mint ahol beérkezett
- Kristályok és az elektronika tökéletlensége: egy fotonbecsapódást várható értékben nem pontosan egy találatként regisztrál (nem érzékeli, vagy több találatként regisztrálja)



Ha figyelmen kívül hagyjuk...



Rekonstrukciós módszer

- Az ismeretlen függvény modellje
 - Végeselem reprezentáció, interpolációs módok
- Rekonstrukciós algoritmus
 - ML-EM: iteratív, figyelembe veszi a mért adat Poisson eloszlását, tetszőleges fizikai jelenség modellje beépíthető
- Rendszer mátrix
 - Direkt vs. Adjungált módszerek
 - Fizikai modellek

Végeselem módszer

- Az ismeretlen függvényt együtthatók és rögzített bázisfüggvények segítségével írjuk le:

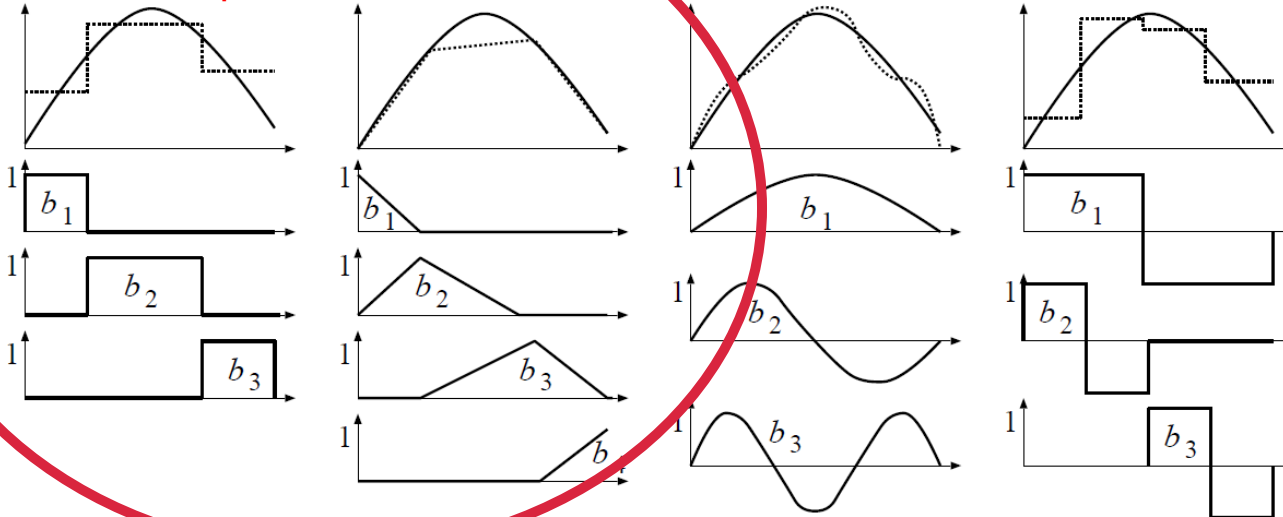
$$x(\vec{v}) = \sum_{j=1}^M x_j b_j(\vec{v})$$

Voxelek, 3D rács

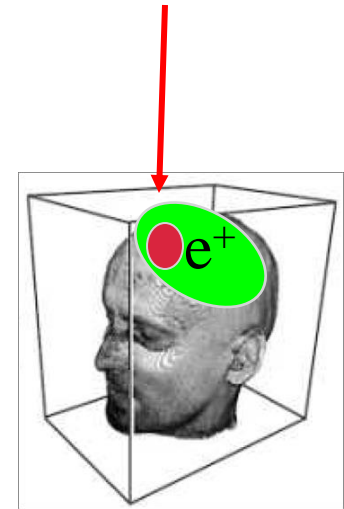
GPU

Nearest (point)

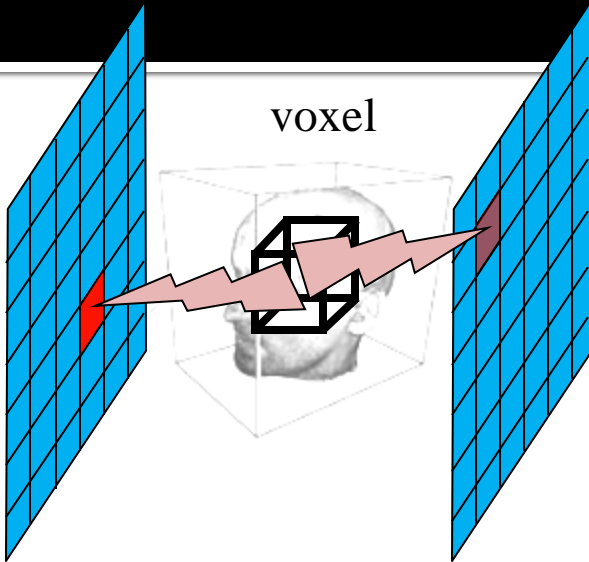
(Tri)Linear



Intenzitás: $x(v)$
(pozitron bomlások sűrűsége)



Modellezés: rendszermátrix



mért LOR válasz

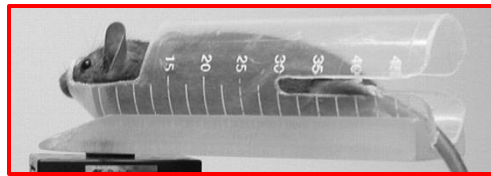
voxel intenzitás

$$y = Ax$$

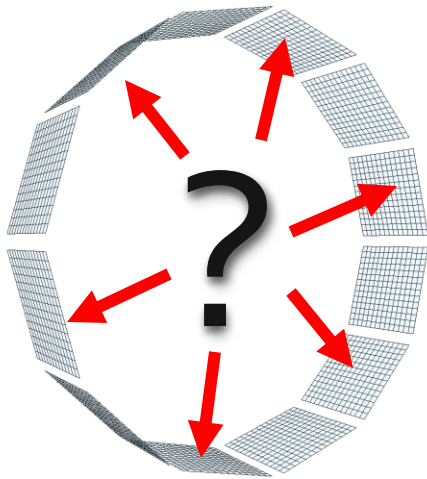
A_{ij} : annak valószínűsége, hogy az i -edik voxelben keletkezett pozitron a j -edik LoR-ban eredményez fotonpár becsapódást

- Problémák:
 - A gyakorlatban óriási rendszermátrix: $10^8 \times 10^7 = 10^{15}$ elem
 - Néhány TeraByte!
 - Minden mátrixelem végtelendimenziós integrál (szóródás)
 - A mátrixelemek függnek a mért objektumtól (szóródás, pozitronvándorlás), ezért offline nem számolható pontosan
 - Ha eltekintünk a szóródástól, a mátrix ritka: gyorsítások
- A mátrixelemeket on-the-fly számoljuk!

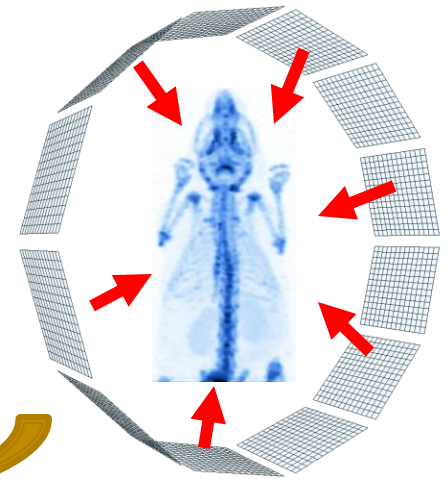
Az EM-algoritmus (Expectation Maximization)



Mért
foton találatok



Becsült
foton találatok



I. „Előrevetítés”:

A kontrasztanyag eloszlásának egy (tetszőleges) becsléséből kiindulva, egy **pontos fizikai modellt** alkalmazva kiszámoljuk, hogy a becslést feltételezve **mit kellene mérnünk**

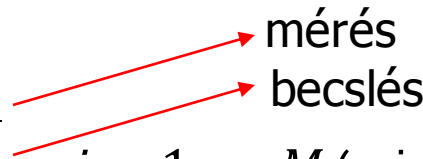
III. Iteratív rekonstrukció:

Az egészet megismételjük, immáron az új, pontosabb becslésből kiindulva

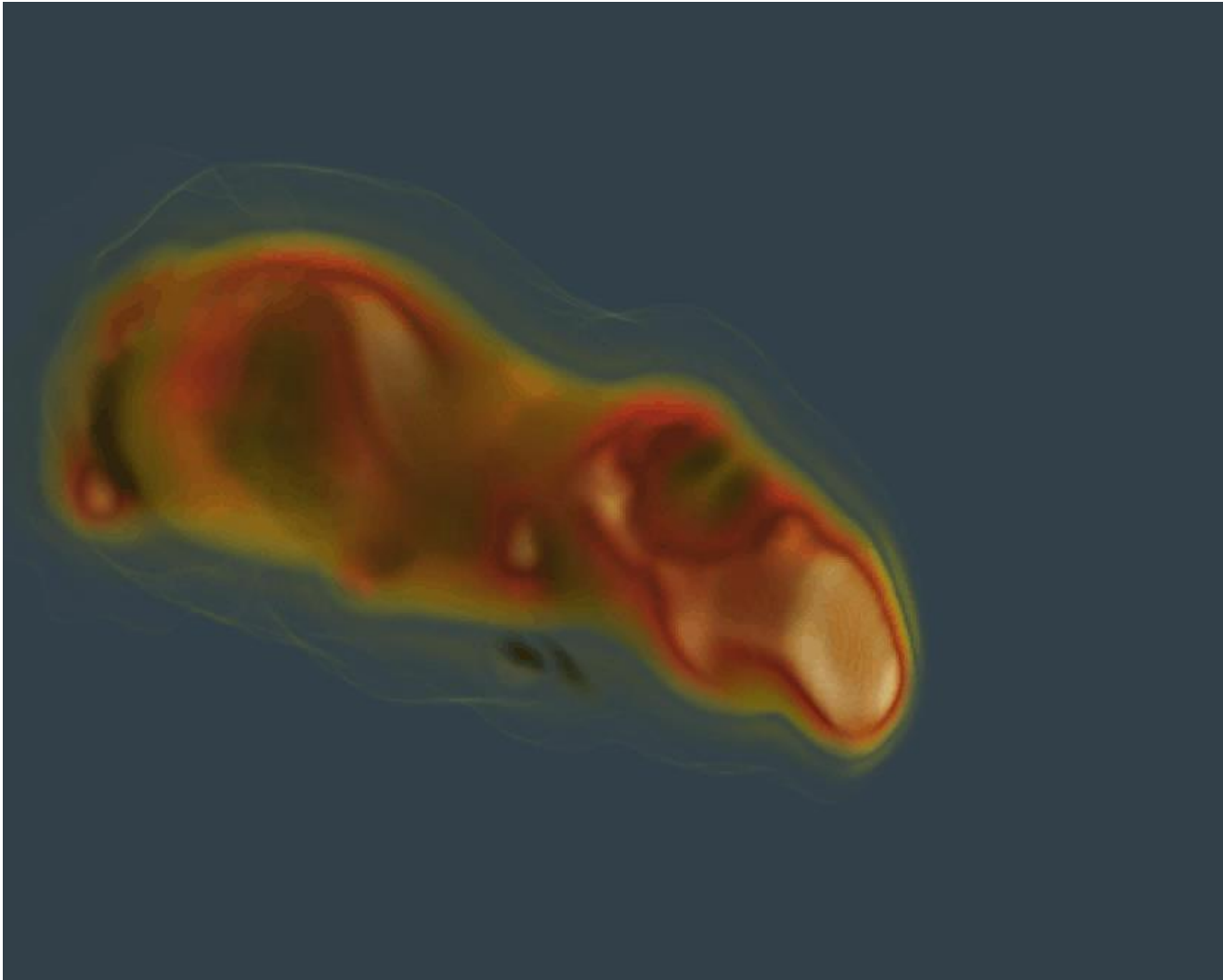
II. „Visszavetítés”:

A becsült és a mért beütések aránya alapján **korrigáljuk** a kontrasztanyag eloszlására adott becslést

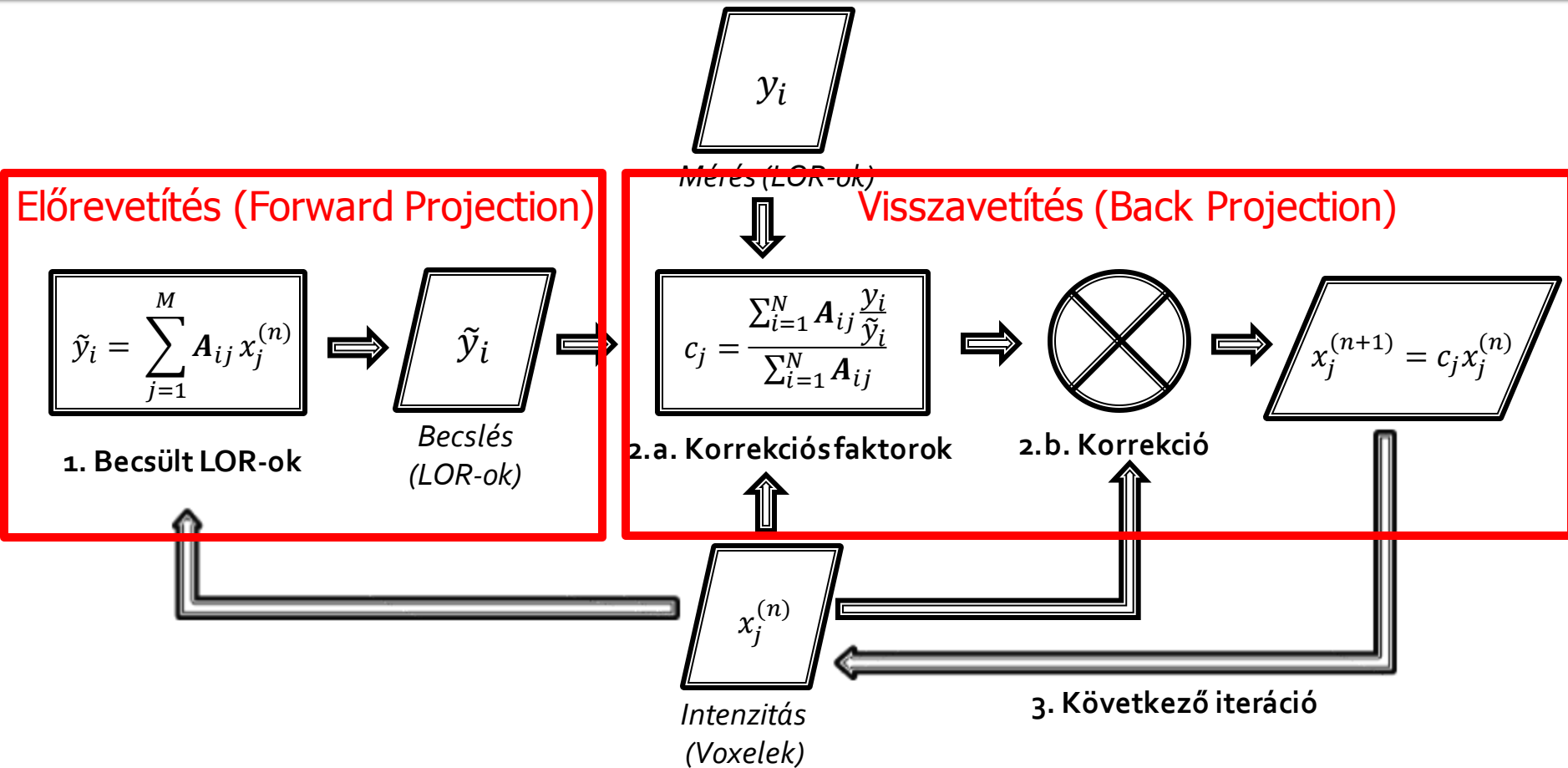
Az EM-algoritmus (Expectation Maximization)

- Maximum-likelihood becslés: találjuk meg azt az $x(v)$ függvényt, amelyet feltételezve az adott mérés valószínűsége maximális
 - Likelihood: $L(x(\vec{v})|y_1, \dots, y_N) = P(y_1, \dots, y_N|x(\vec{v})) = \prod_{i=1}^N P(y_i|x(\vec{v}))$
 - Az EM algoritmus a fenti Likelihoodot maximalizálja feltételezve, hogy a LOR-beütések Poisson eloszlásúak
 - EM-iterációs séma:
 - $x_j^{(n+1)} = \frac{x_j^{(n)} \sum_{i=1}^N A_{ij} \frac{y_i}{\tilde{y}_i}}{\sum_{i=1}^N A_{ij}}$, $j = 1, \dots, M$ (minden voxelre)
 - Tetszőleges nemnulla $x_j^{(0)}$ jó
 - Minden iterációban a mért és becsült LOR-ok aránya alapján korrigáljuk a bomlássűrűség ($x(v)$) aktuális becslését
 - A becsült várható érték: $\tilde{y}_i = \sum_{j=1}^M A_{ij} x_j$
- 

Az EM-algoritmus (Expectation Maximization)



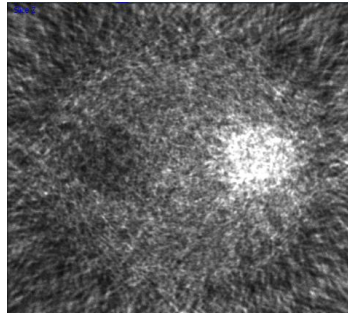
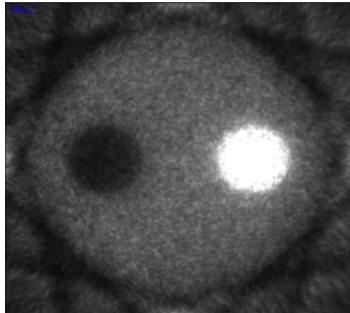
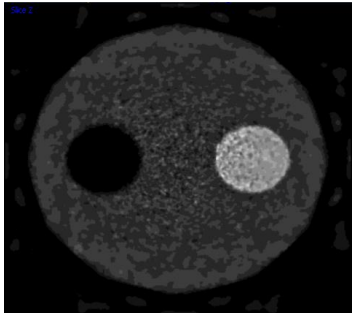
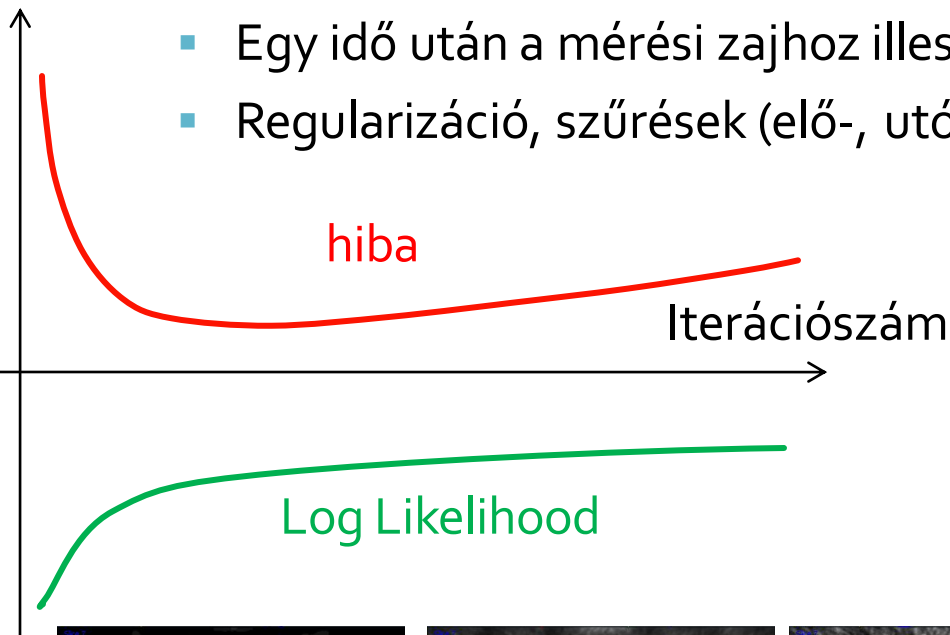
Az EM-algoritmus (Expectation Maximization)



- Mindkét operátor egymástól függetlenül dolgozza fel az adatokat (párhuzamosítás!)

Hátrányok

- Rosszul kondicionált, inverz feladat: az ML-EM likelihoodban konvergál (LOR-tér), nem pl. voxeltérbeli L_2 hibában
 - Egy idő után a mérési zajhoz illeszti a rekonstruált térfogatot
 - Regularizáció, szűrések (elő-, utó-), megállási feltételek stb.



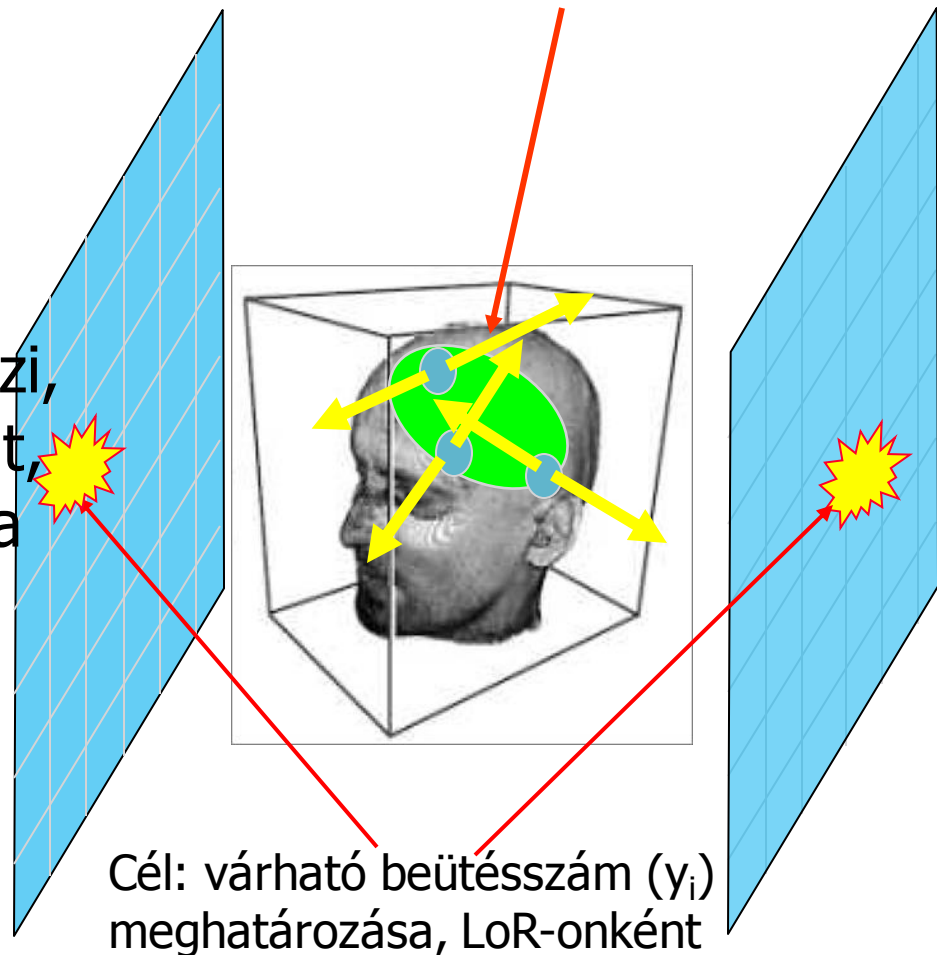
Előrevetítés: Direkt MC

$$\tilde{y}_i = \int_{\vec{v}} x(\vec{v}) P(\vec{v} \rightarrow i) d\vec{v}$$

Direkt Monte-Carlo:
A térfogatot mintavételezi,
szimulálja a fotonok útját,
az út végén regisztrálja a
becsapódás helyét

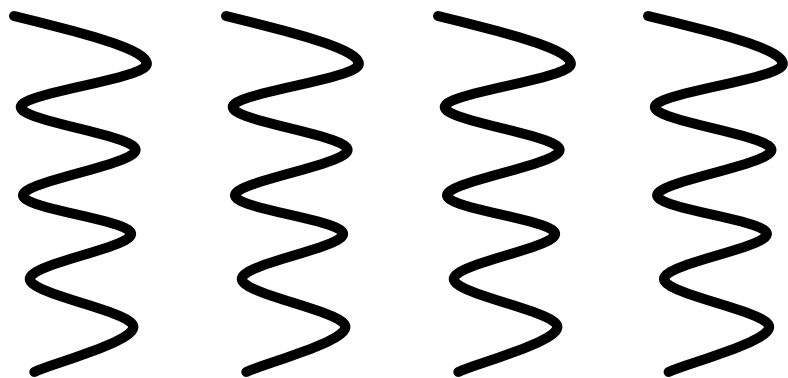
„Lövés” típus:
*GPU-n általában nem
hatékony!*

Adott: az intenzitás becslése: $x_j^{(n)}$

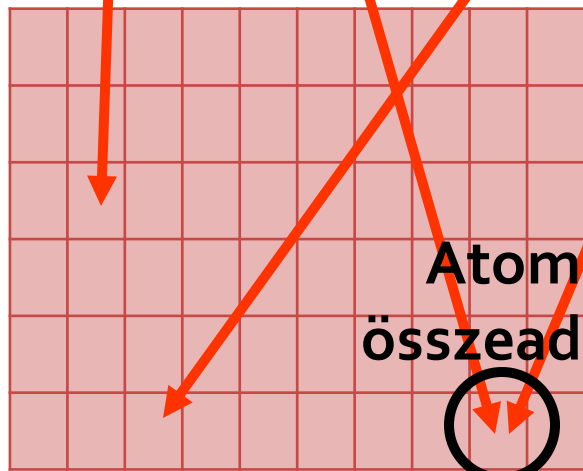


Direkt MC: szóródás

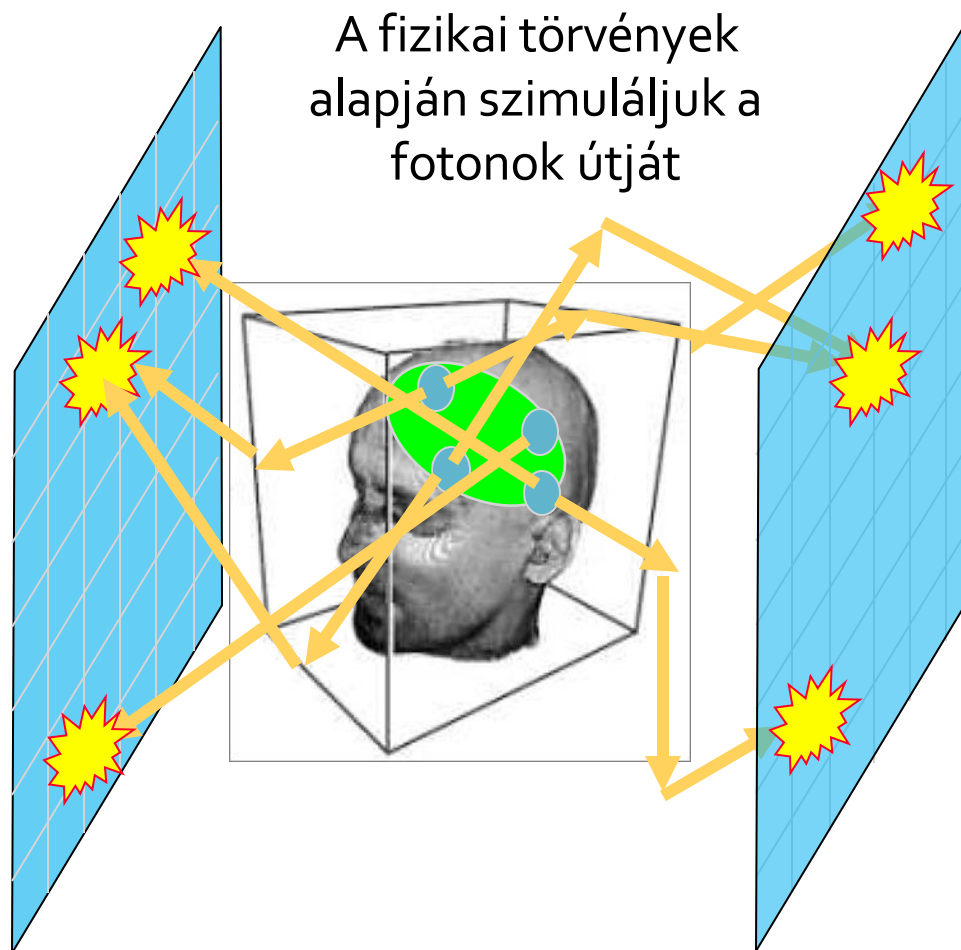
Thread Thread Thread Thread



GPU memória



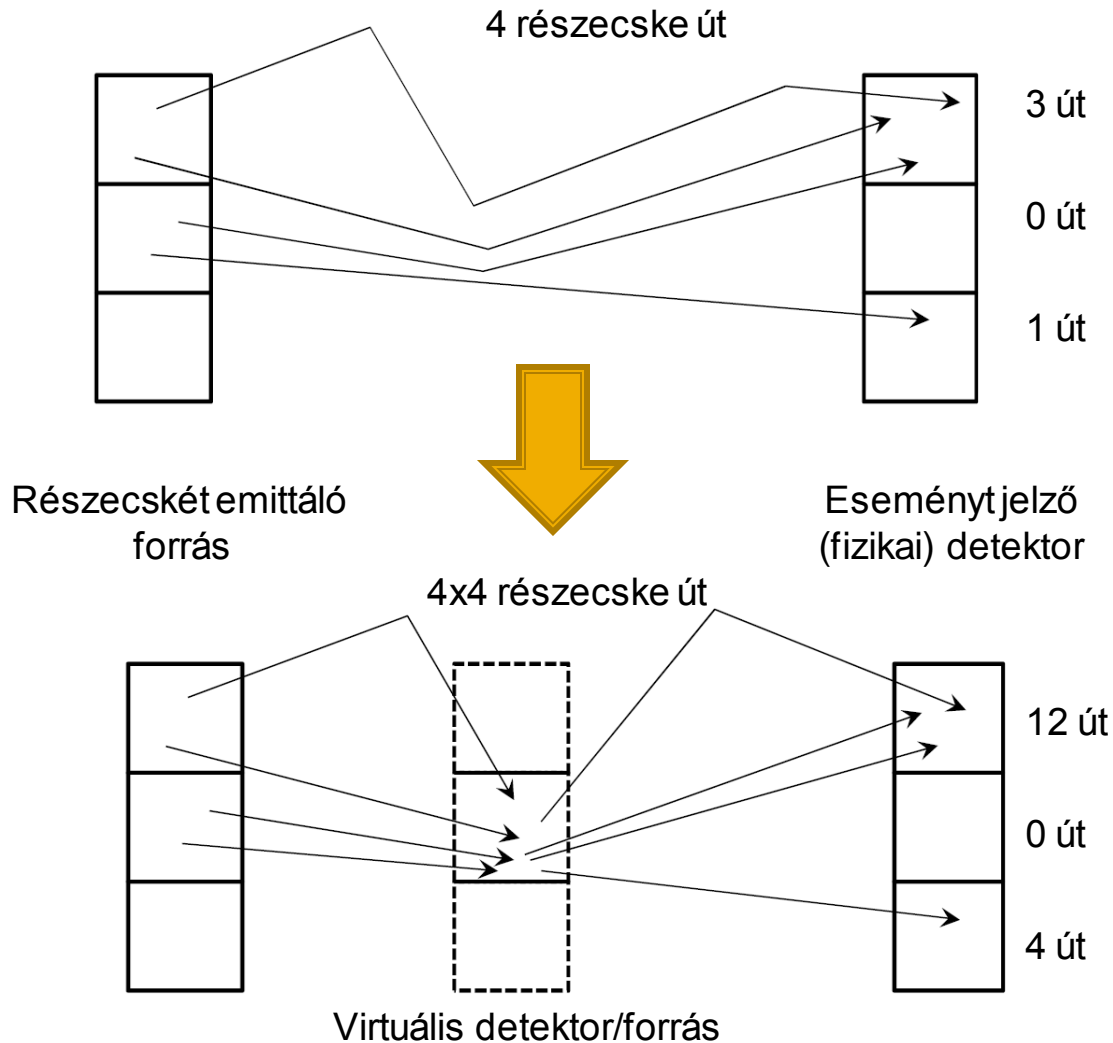
Atomi
összeadás!



A fizikai törvények
alapján szimuláljuk a
fotonok útját

„Lövés”: GPU-n nem hatékony!

Párhuzamosítás: faktORIZÁCIÓ



$$\mathbf{Ax} = \mathbf{L} \cdot (\mathbf{D} + \mathbf{S}) \cdot \mathbf{P} \cdot \mathbf{x}$$

fizikai hatások
(**P**ozitronvándorlás,
Direkt hatás,
Szóródás,
L Detektormodel)

Előrevetítés

- Voxel-központú direkt MC: a voxelekből kiindulva szimuláljuk a fotonok útját, az út végén találatot regisztrálunk a detektorokban
 - Intuitív, „könnyű” leködolni a fizikai jelenségeket
 - Nem illeszkedik a GPU architektúrájához
- LOR-központú „adjungált MC”: a detektorokból kiindulva megnézzük, hogy mely voxerek hatnak az adott detektorpárra
 - Gyűjtés-típusú módszer!
 - A probléma **matematikai modelljének átfogalmazása!**
 - Pl. geometriai vetítés:

$$\tilde{y}_i = \sum_{j=1}^{N_{\text{voxel}}} \mathbf{A}_{ij} x_j = \int \int_{\nu} x(\vec{\nu}) P(\vec{\nu}, \vec{\omega} \rightarrow l) \frac{d\omega}{2\pi} d\nu = \int_{D_1} \int_{D_2} \frac{\cos \theta_1 \cos \theta_2}{|\vec{z}_1 - \vec{z}_2|^2} X(\vec{z}_1, \vec{z}_2) dz_1 dz_2$$

↑
Jacobi det. teljes aktivitás

Geometriai előrevetítés: Adjungált MC

~~$$\tilde{y}_i = \int_{\mathcal{V}} x(\vec{v}) P(\vec{v} \rightarrow i) d\mathcal{V}$$~~

$$\tilde{y}_i = \int_{D_1} \int_{D_2} G(z_1, z_2) X(z_1, z_2) dz_1 dz_2$$

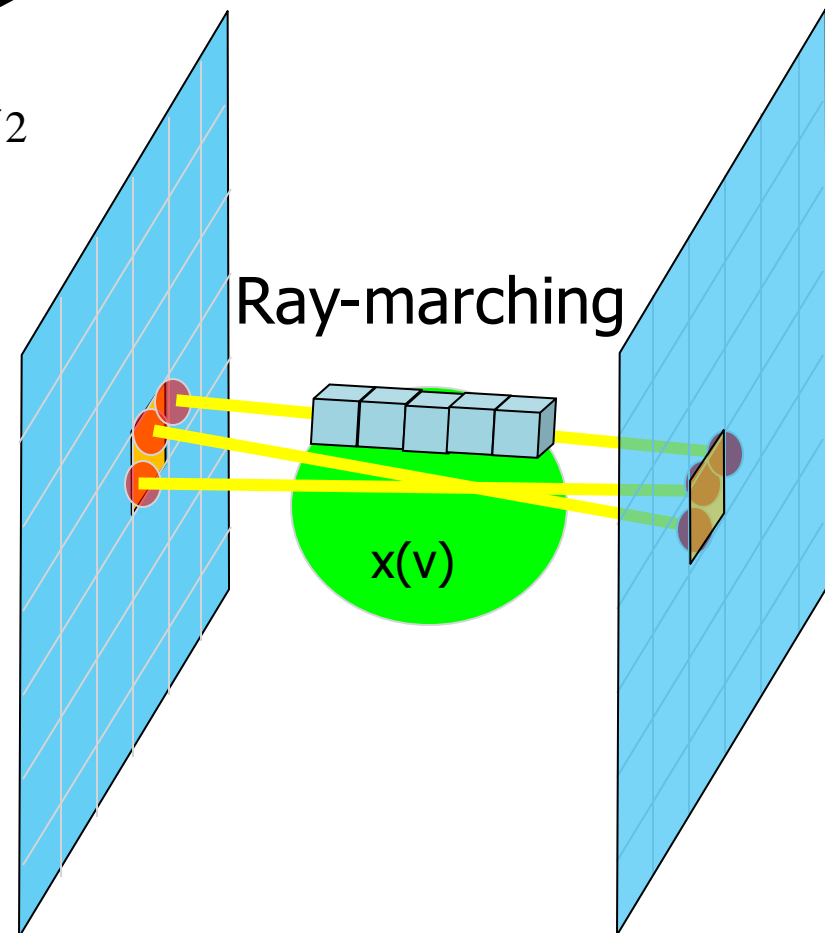
$$\int_{z_1}^{z_2} x(l) dl$$

Adjungált Monte-Carlo:
A detektorfelületet
mintavételezzük,
összegyűjtjük a
mintapontokat összekötő
utak hozzájárulását

10 millió út/s (Direkt MC)

vs.

2.000 millió minta/s (adj. MC)



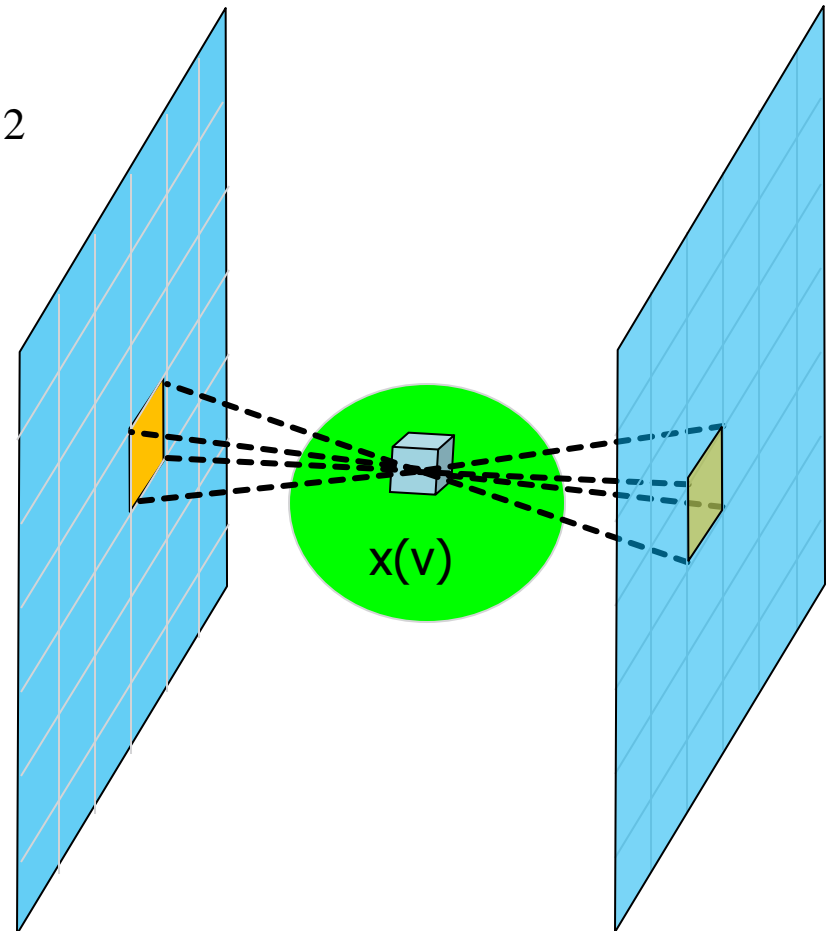
Előrevetítés

$$\frac{\cos\theta_{z_1} \cos\theta_{z_2}}{2\pi |z_1 - z_2|^2}$$

$$\tilde{y}_i = \int \int_{D_1 D_2} G(z_1, z_2) X(z_1, z_2) dz_1 dz_2$$

Valószínűség helyett a
tér szög jelenik meg,
amelyben a detektorok
felülete látszik

$$\tilde{y}_i \approx \frac{D_1 D_2}{2\pi N_{line}} \sum_{k=1}^{N_{line}} \frac{\sum_{t=1}^{N_{march}} x(\vec{l}_{kt}) \Delta l_k}{|\vec{z}_1^{(k)} - \vec{z}_2^{(k)}|^2}$$



Előrevetítés

$$\frac{\cos\theta_{z_1} \cos\theta_{z_2}}{2\pi|z_1 - z_2|^2}$$

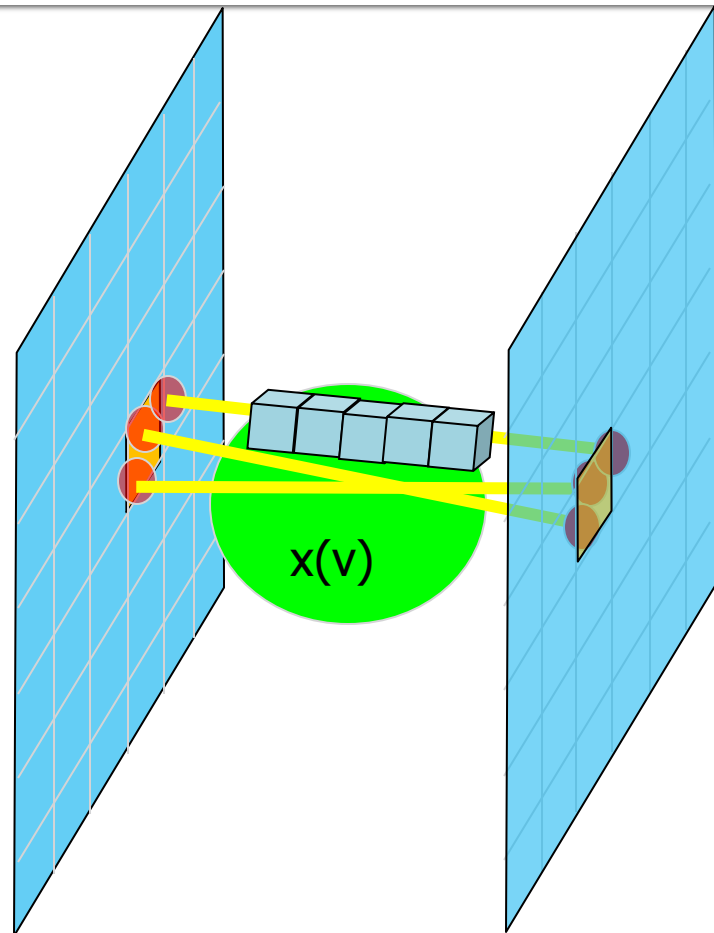
$$\int_{z_1}^{z_2} x(l) dl$$

$$\tilde{y}_i = \int \int_{D_1 D_2} G(z_1, z_2) X(z_1, z_2) dz_1 dz_2$$

Diszkrét mintákkal közelítve:

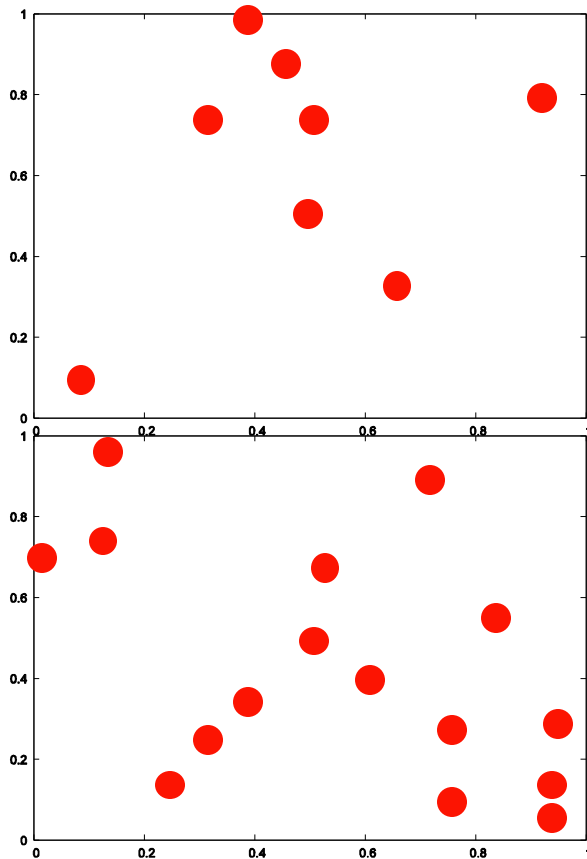
$$\tilde{y}_i \approx \frac{D_1 D_2}{2\pi N_{line}} \sum_{k=1}^{N_{line}} \frac{\sum_{t=1}^{N_{march}} x(\vec{l}_{kt}) \Delta l_k}{|\vec{z}_1^{(k)} - \vec{z}_2^{(k)}|^2}$$

detektorfelület $\rightarrow D_1, D_2$
 ray-marching lépésszám $\rightarrow N_{march}$
 ray-marching lépéshossz $\rightarrow \Delta l_k$
 $x(v)$ -minta $\rightarrow x(\vec{l}_{kt})$
 vonalminták $\rightarrow N_{line}$
 detektorminták (=a vonalminták végpontjai) távolsága $\rightarrow |\vec{z}_1^{(k)} - \vec{z}_2^{(k)}|^2$

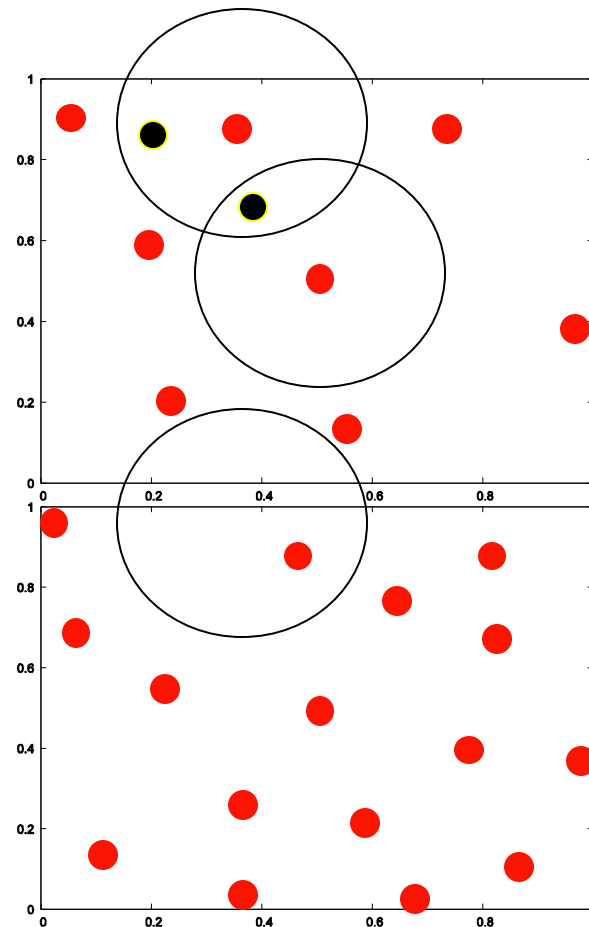


Vonalminták végpontjai

Rnd



Poisson Disk



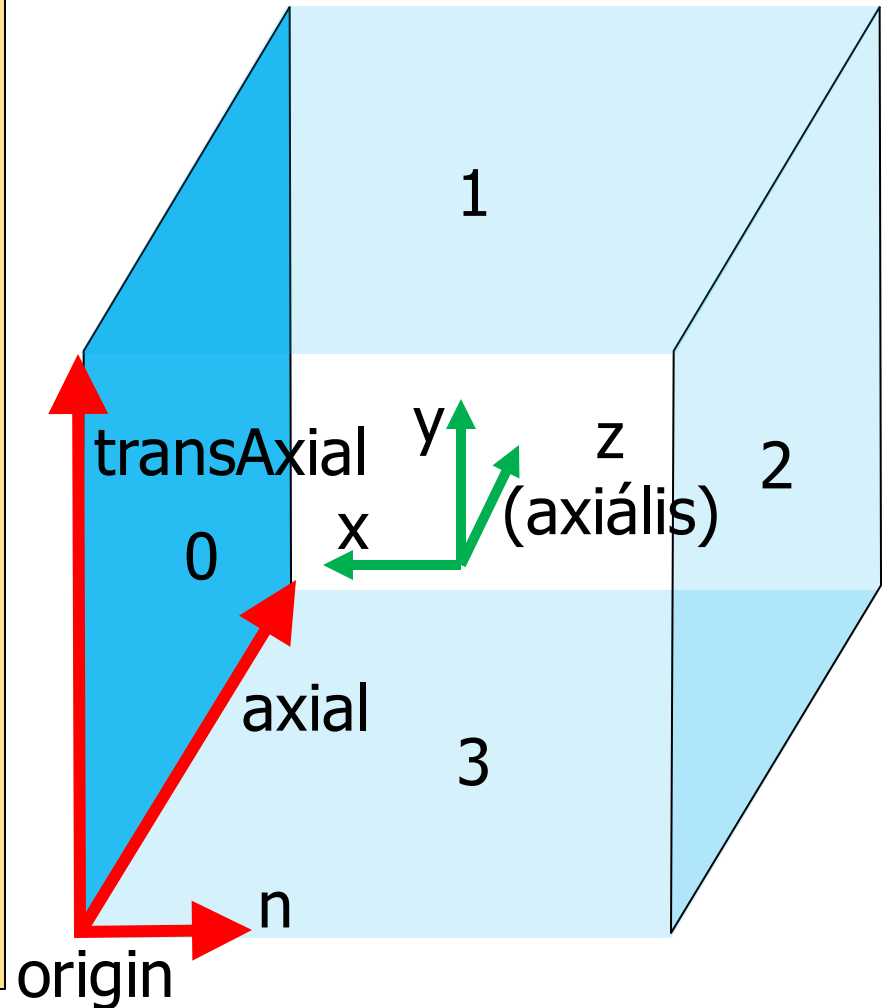
Implementáció

- PET-geometria
 - Detektorok geometriája
 - Volume leírás
- Előrevetítő operátor
- Visszavetítő operátor

Modulok

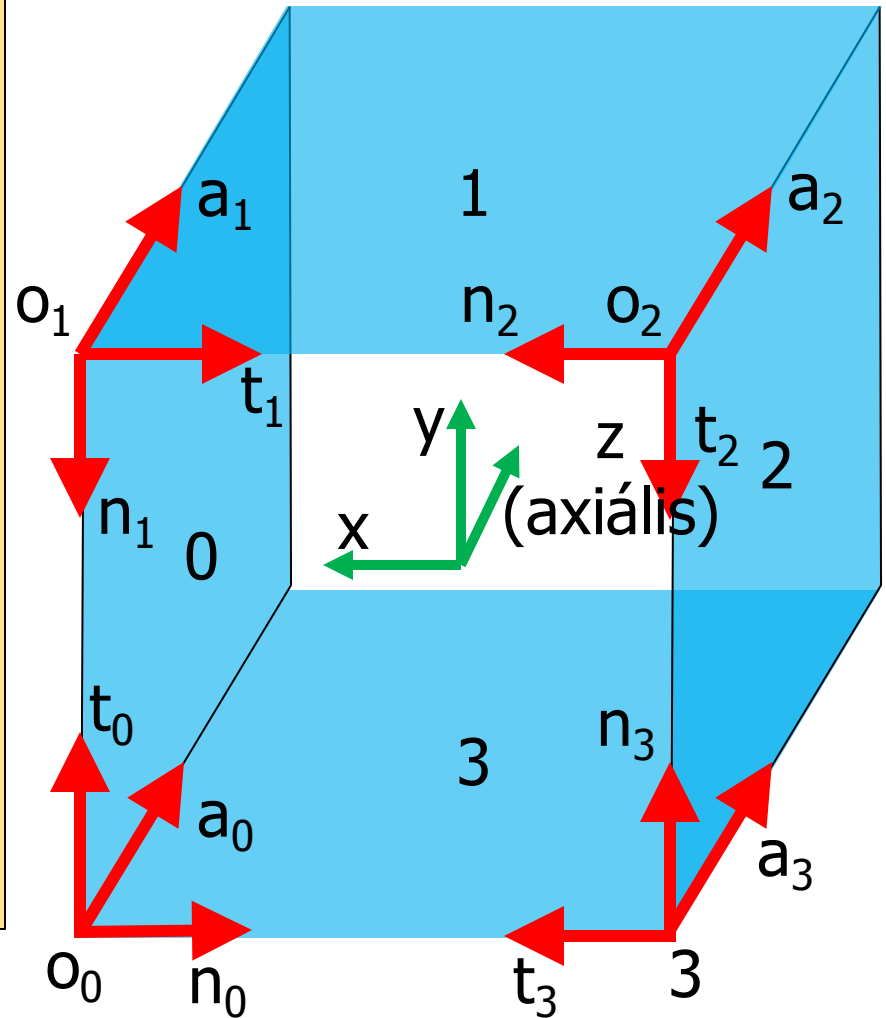
```
struct module
{
  cl_float4 origin;
  cl_float4 axial;
  cl_float4 transAxial;
  cl_float4 n;
};

cl_float4 origin;
cl_float4 axial;
cl_float4 transAxial;
cl_float4 n;
origin.s[3] = axial.s[3] = transAxial.s[3] = n.s[3] =
o.of;
origin.s[0] = origin.s[1] = origin.s[2] = -1.of;
axial.s[2] = 2.of; axial.s[0] = axial.s[1] = 0.of;
transAxial.s[0] = 2.of;
transAxial.s[1] = transAxial.s[2] = 0.of;
n.s[1] = 1.of; n.s[0] = n.s[2] = 0.of;
```



Modulok

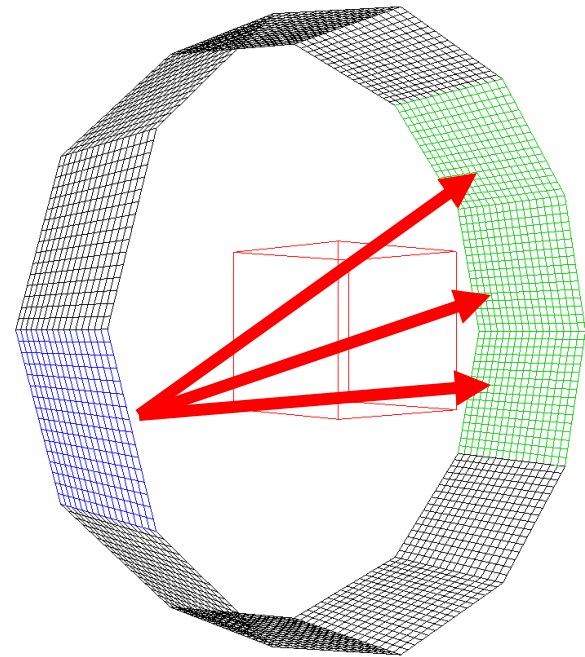
```
moduleBufferGPU = clCreateBuffer(context,  
CL_MEM_READ_WRITE,  
sizeof(module)*nModules, NULL, NULL);  
for (int i = 0; i < nModules; ++i)  
{  
    moduleBufferCPU[i].origin = origin;  
    moduleBufferCPU[i].axial = axial;  
    moduleBufferCPU[i].transAxial = transAxial;  
    moduleBufferCPU[i].n = n;  
  
    rotategoxy(origin);  
    rotategoxy(transAxial);  
    rotategoxy(n);  
}  
clEnqueueWriteBuffer(commands,  
    moduleBufferGPU, CL_TRUE, 0,  
    sizeof(module)*nModules,  
    moduleBufferCPU, 0, NULL, NULL);
```



Koincidencia

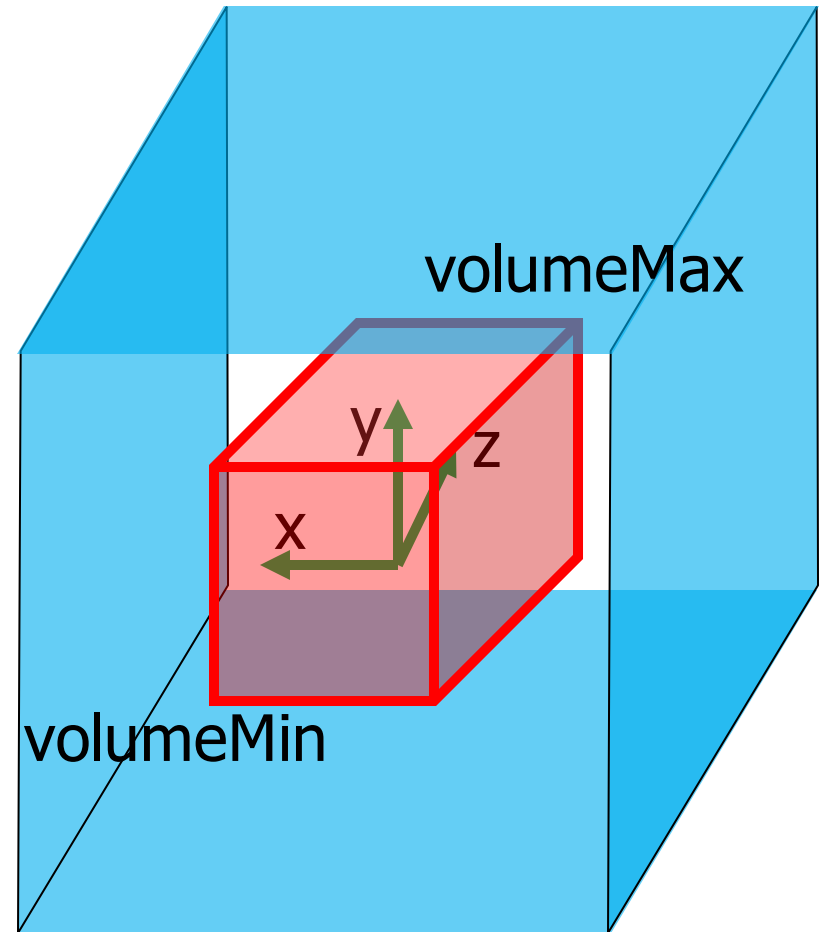
- $\text{Int} \rightarrow \text{Int} \times \text{Int}$ leképzés
- Melyik panel melyik másikkal alkothat LOR-okat

```
// csúnya, de egyszerű ☺  
  
int2 getModules(int pair)  
{  
    switch ( pair )  
    {  
        case 0: return (int2)(0,2);  
        case 1: return (int2)(1,3);  
    };  
    return (int2)(0,0);  
}
```



Volume fizikai méret

```
volumeMin.s[0] = volumeMin.s[1] =  
    volumeMin.s[2] = -0.5f;  
volumeMax.s[0] = volumeMax.s[1] =  
    volumeMax.s[2] = 0.5f;  
volumeMin.s[3] = volumeMax.s[3] = 0.of;
```



Előrevetítő kernel

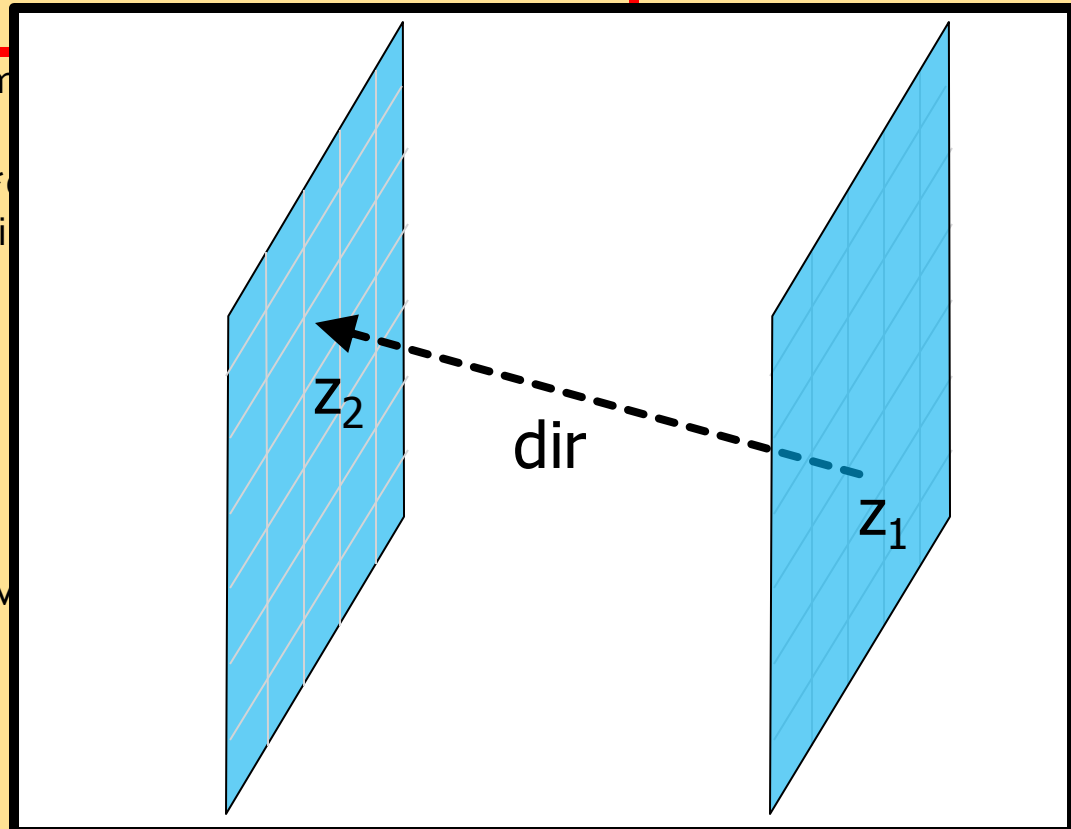
```
__kernel
void forwardProjection(
    const int nAxial,                // modulok axiális felbontása
    const int nTransAxial,          // modulok tranzaxiális felbontása
    const int resolution,           // volume felbontás (most köbös)
    const float detectorArea,       // detektor felszín (térszöghöz)
    float4 volumeMin,               // AABB
    float4 volumeMax,               // AABB
    __global struct module* modules, // modulleírók
    __global float* measuredLors,    // mért LOR beütésszámok
    __global float* estimatedLors,   // becsült LOR-ok
    __global float* volumeBuffer     // bomlássűrűség
)
{
    // ...
}
```

Problémater felosztása

```
forwardProjectionSize[0] = nPairs;
forwardProjectionSize[1] = forwardProjectionSize[2] = nTransAxial*nAxial;
CL_SAFE_CALL( clEnqueueNDRangeKernel(commands, forwardProjectionKernel,
                                     3, NULL, forwardProjectionSize, NULL, 0, NULL, NULL) );
__kernel void forwardProjection(
// ...
{
    int iPair = get_global_id(0);
    int iAxial1 = get_global_id(1) % nAxial;
    int iTransAxial1 = get_global_id(1) / nAxial;
    int iAxial2 = get_global_id(2) % nAxial;
    int iTransAxial2 = get_global_id(2) / nAxial;
    int lorIndex = getLorIndex( iPair, iAxial1, iAxial2, iTransAxial1, iTransAxial2, nAxial, nTransAxial );
}
int getLorIndex( int pair, int axial1, int axial2, int transAxial1, int transAxial2, int nAxial, int
nTransAxial ) {
    int lorNumber = nAxial*nAxial*nTransAxial*nTransAxial;
    int u = axial1 * nTransAxial + transAxial1;
    int v = axial2 * nTransAxial + transAxial2;
    return lorNumber*pair + u*nAxial*nTransAxial + v;
}
```

Előrevetítő kernel

```
float4 z1 = // 1 vonalminta, a detektor közepén  
           modules[iModule.x].origin +  
           modules[iModule.x].transAxial*(iTransAxial1+0.5f)/nTransAxial +  
           modules[iModule.x].axial*(iAxial1+0.5f)/nAxial;  
float4 z2 = ...  
float4 dir = z2-z1;  
if ( intersectBox( z1, dir, volumeMin, volum  
    float G = -detectorArea*detectorArea *  
              dot(modules[iModule.x].n,dir)*  
              / (2.of*M_PI*dot(dir,dir)*dot(di  
float4 start = z1+tnear*dir;  
float4 end = z1+tfar*dir;  
float4 step = (end - start) / resolution;  
float dl = length(step);  
float4 voxel = start;  
for ( int i = 0; i < resolution; ++i ) {  
    float x = getIntensity( (voxel - volumeM  
    xSum += G*x*dl;  
    voxel += step;  
}  
}
```



Előrevetítő kernel

```
float4 z1 = // 1 vonalminta, a detektor közepén  
           modules[iModule.x].origin +  
           modules[iModule.x].transAxial*(iTransAxial1+0.5f)/nTransAxial +  
           modules[iModule.x].axial*(iAxial1+0.5f)/nAxial;
```

```
float4 z2 = ...
```

```
float4 dir = z2 - z1;
```

```
if (intersectBox( z1, dir, volumeMin, volumeMax))
```

```
    float G = -detectorArea*detectorArea *  
              dot(modules[iModule.x].n,dir)*  
              / (2.0f*M_PI*dot(dir,dir)*dot(d
```

```
    float4 start = z1+tnear*dir;
```

```
    float4 end = z1+tfar*dir;
```

```
    float4 step = (end - start) / resolution;
```

```
    float dl = length(step);
```

```
    float4 voxel = start;
```

```
    for ( int i = 0; i < resolution; ++i ) {
```

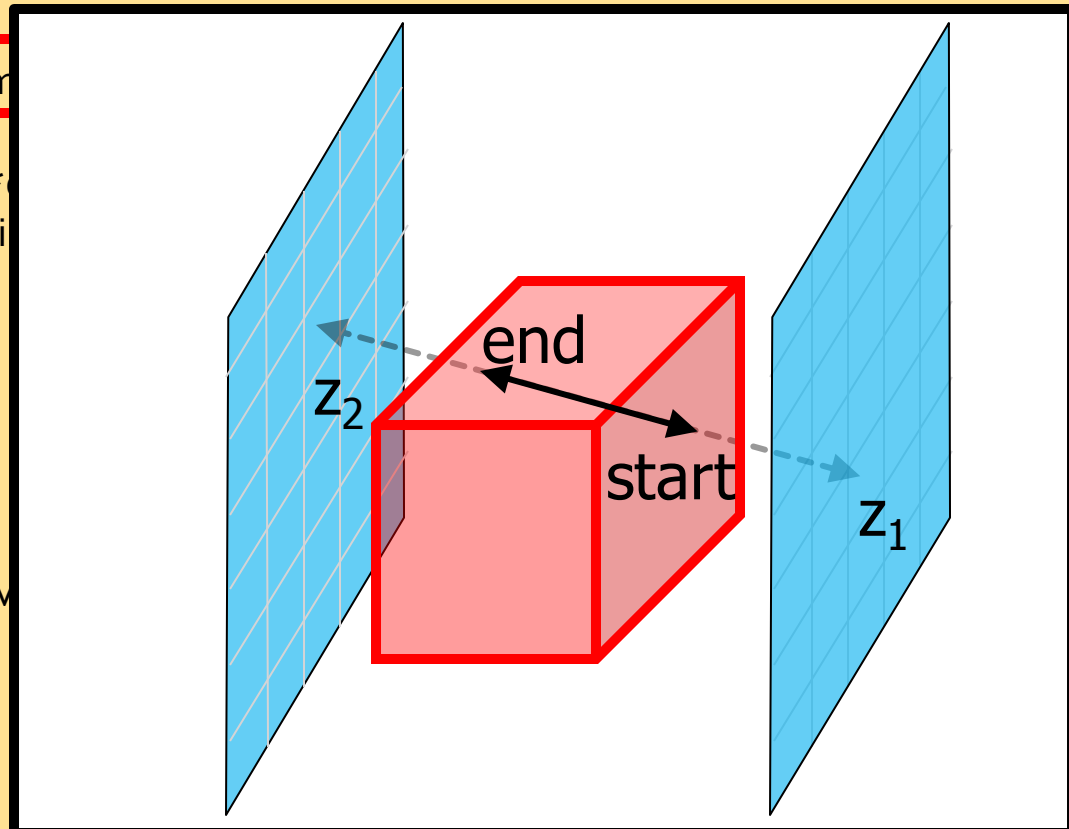
```
        float x = getIntensity( (voxel - volumeM
```

```
        xSum += G*x*dl;
```

```
        voxel += step;
```

```
    }
```

```
}
```



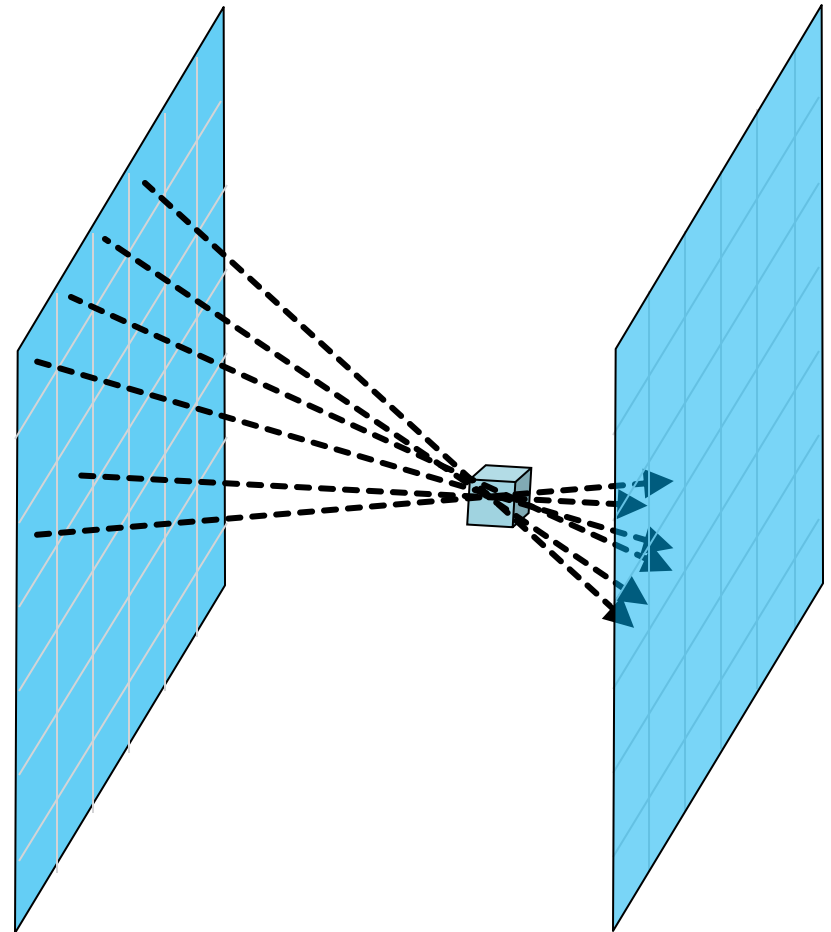
Előrevetítő kernel

```
float4 z1 = // 1 vonalminta, a detektor közepén
            modules[iModule.x].origin +
            modules[iModule.x].transAxial*(iTransAxial1+0.5f)/nTransAxial +
            modules[iModule.x].axial*(iAxial1+0.5f)/nAxial;
float4 z2 = ...
float4 dir = z2-z1;
if ( intersectBox( z1, dir, volumeMin, volumeMax, &tnear, &tfar ) ) {
    float G = -detectorArea*detectorArea *
              dot(modules[iModule.x].n,dir)*dot(modules[iModule.y].n,dir)
              / (2.of*M_PI*dot(dir,dir)*dot(dir,dir));
    float4 start = z1+tnear*dir;
    float4 end = z1+tfar*dir;
    float4 step = (end - start) / resolution;
    float dl = length(step);
    float4 voxel = start;
    for ( int i = 0; i < resolution; ++i ) {
        float x = getIntensity( voxel - volumeMin) / (volumeMax - volumeMin), resolution, volumeBuffer );
        xSum += G*x*dl;
        voxel += step;
    }
}
```

Ray marching

Visszavetítés

- $x_j^{(n+1)} = \frac{x_j^{(n)} \sum_{i=1}^N A_{ij} \frac{y_i}{\tilde{y}_i}}{\sum_{i=1}^N A_{ij}}$
- Minden olyan LOR-t meg kell látogatnunk, amely metszi az adott voxel-t!
- Minden panelpárra végigyalogolunk a távolabb lévő panelen és a detektorokat a másik panelre vetítjük

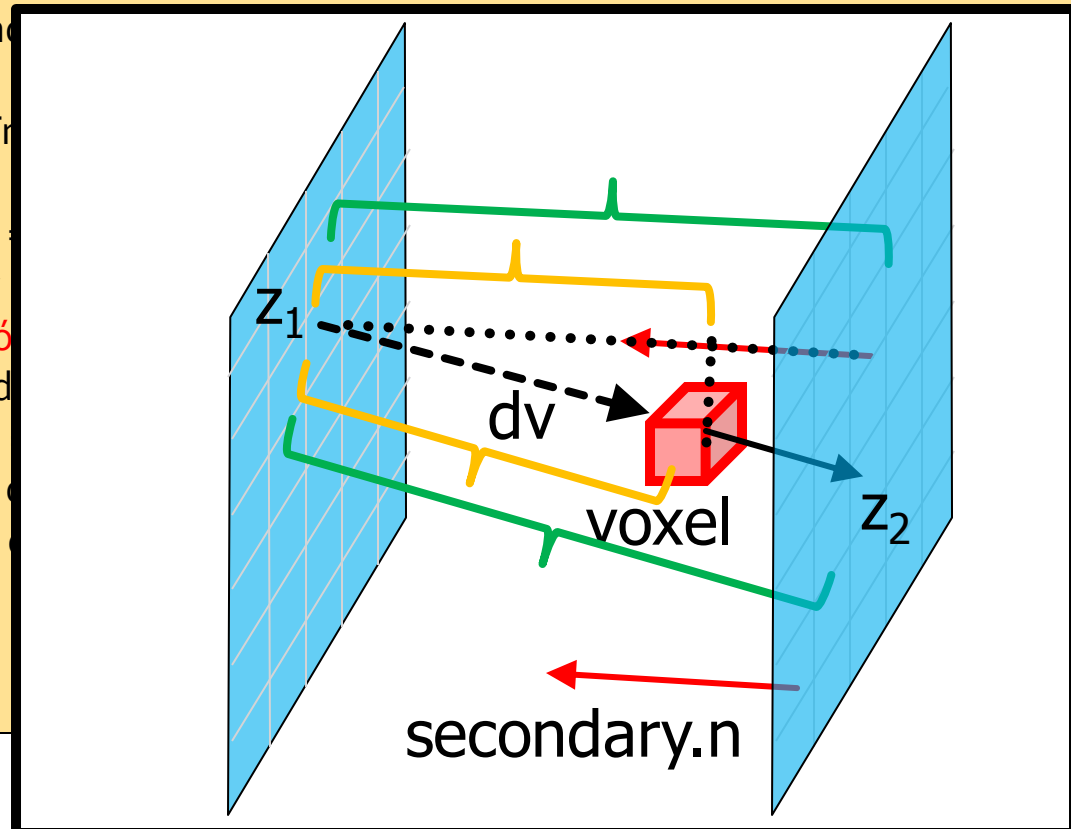


Visszavetítő kernel

```
__kernel
void backProjection(
    const int nPairs,           // párok száma
    const int nAxial,          // modul axiális felbontása
    const int nTransAxial,     // modul tranzaxiális felbontása
    const int resolution,      // volume felbontás (most köbös)
    float4 volumeMin,          // AABB
    float4 volumeMax,          // AABB
    __global struct module* modules, // modulleírók
    __global float* estimatedLors, // mérés és becsült LOR-ok aránya
    __global float* volumeBuffer // bomlássűrűség
){
    int4 iVoxel = (int4)(get_global_id(0),get_global_id(1),get_global_id(2),0);
    int linearIndex = iVoxel.x + iVoxel.y*resolution + iVoxel.z*resolution*resolution;
    float4 voxel = (float4)(iVoxel.x,iVoxel.y,iVoxel.z,0);
    voxel /= resolution; // [0,1]
    voxel = (volumeMax-volumeMin)*voxel + volumeMin; // [volumeMin,VolumeMax]
    ...
}
```

Visszavetítő kernel

```
for ( int iPair = 0; iPair < nPairs; ++iPair ) { // végigmegyünk minden páron
    int2 iModule = getModules(iPair);
    struct module primary = // távolabbi
    struct module secondary = // közelebbi
    float sTransAxial = nTransAxial / dot(secondary.transAxial,secondary.transAxial);
    float sAxial = nAxial / dot(secondary.transAxial,secondary.transAxial);
    for ( int p = 0; p < nAxial; ++p )
        for ( int q = 0; q < nTransAxial; ++q )
            {
                float4 z1 = secondary.transAxial * p + secondary.transAxial * q;
                float4 dv = secondary.transAxial * q;
                // hasonlósági tényező
                float t = dot(primary.transAxial, z1);
                float4 z2 = primary.transAxial * t;
                float fr = dot(primary.transAxial, z2);
                float fs = dot(primary.transAxial, z1);
                // ...
            }
}
```



Visszavetítő kernel

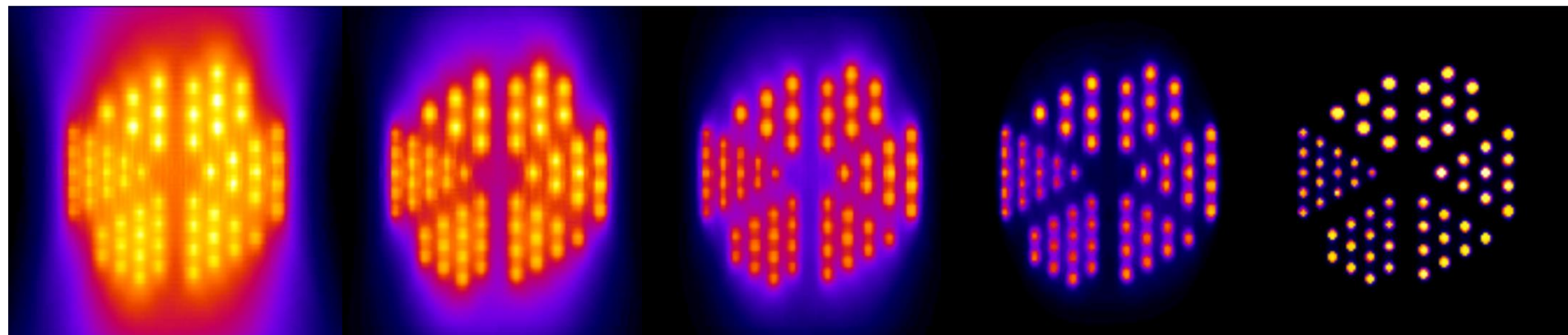
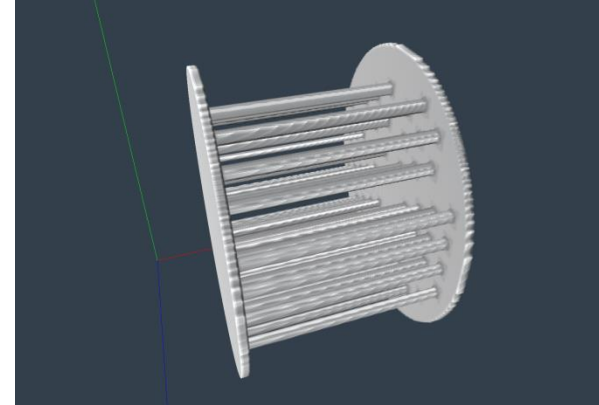
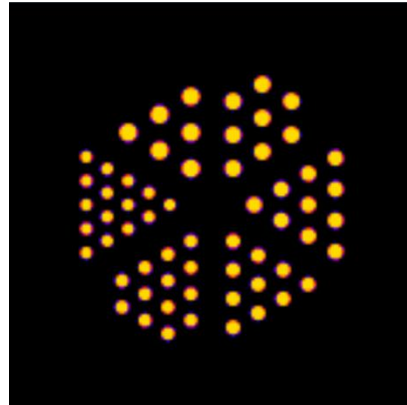
```
if ( o <= fr && fr < nAxial && o <= fs && fs < nTransAxial )
{
    int r = (int)fr;
    int s = (int)fs;
    int lorIndex = getLorIndex( iPair, p, q, r, s, nAxial, nTransAxial ); // sorrend! (ld getModules)
    float y_div_yw = estimatedLors[lorIndex];
    float ddv = length(dv);
    float Alv = dot(primary.n,dv) / (ddv*ddv*ddv); // itt csak az egyik térszöggel közelítjük G-t

    numerator += y_div_yw * Alv;
    denominator += Alv;
}

if ( denominator > 0.of) // = van olyan LOR, ami átmegy a voxelen
{
    volumeBuffer[linearIndex] *= numerator / denominator;
}
```

Iteratív rekonstrukciós algoritmus

- Derenzo fantom

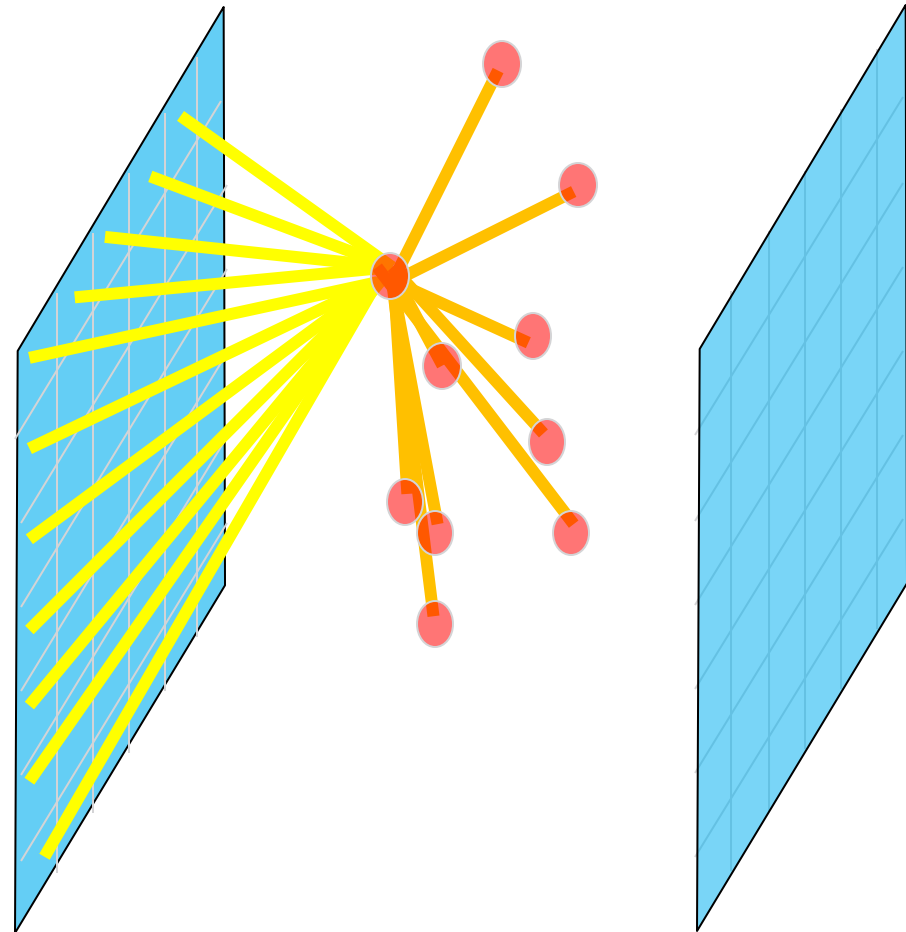


Egyéb hatások

- Testen belüli szóródás
- Detektoron belüli szóródás
- Alapötlet szintjén

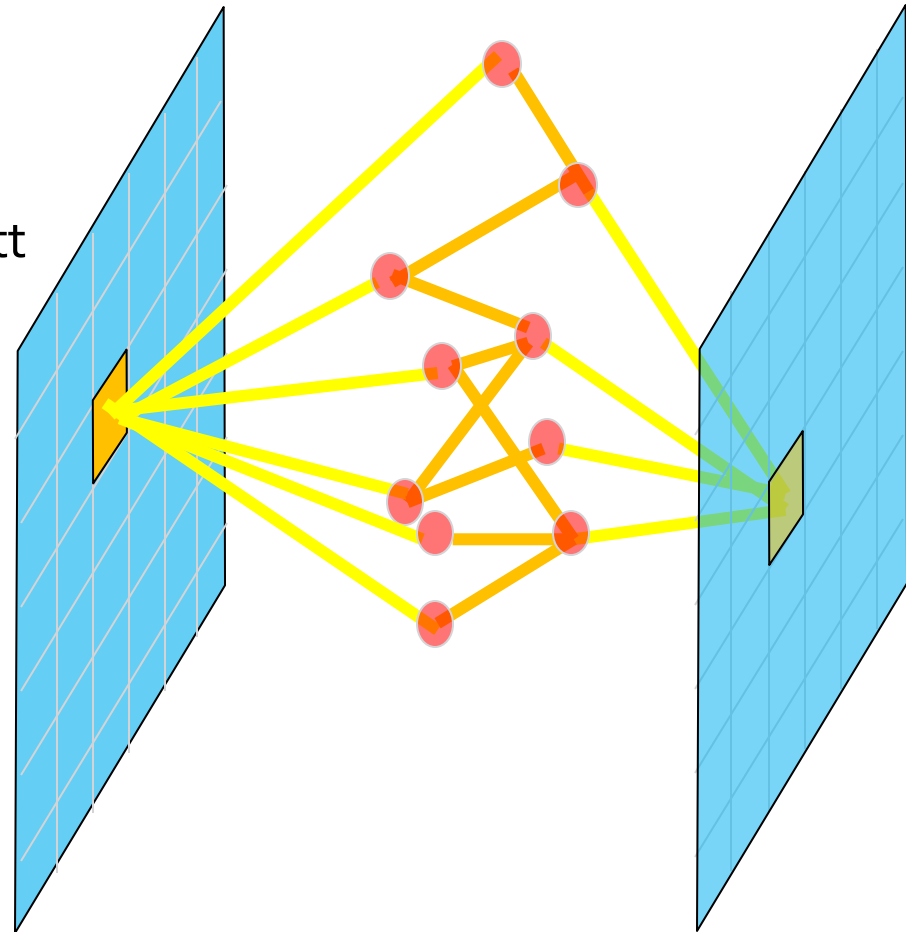
Szóródásmodell (kétszeres, pl.)

- Alapötlet: utak újrafelhasználása
- 1: szóródási pontok generálása
 - Fontosság szerint
 - Néhány 100!
- 2: összekötés a detektorokkal
 - Utak hozzájárulásának kiszámítása, elnyelődés figyelembevételével
 - Mintha a szóródási pontok is detektorok lennének
 - Néhány 10.000 detektor
- 3: Szóródási pontok összekötése, utak kiértékelése



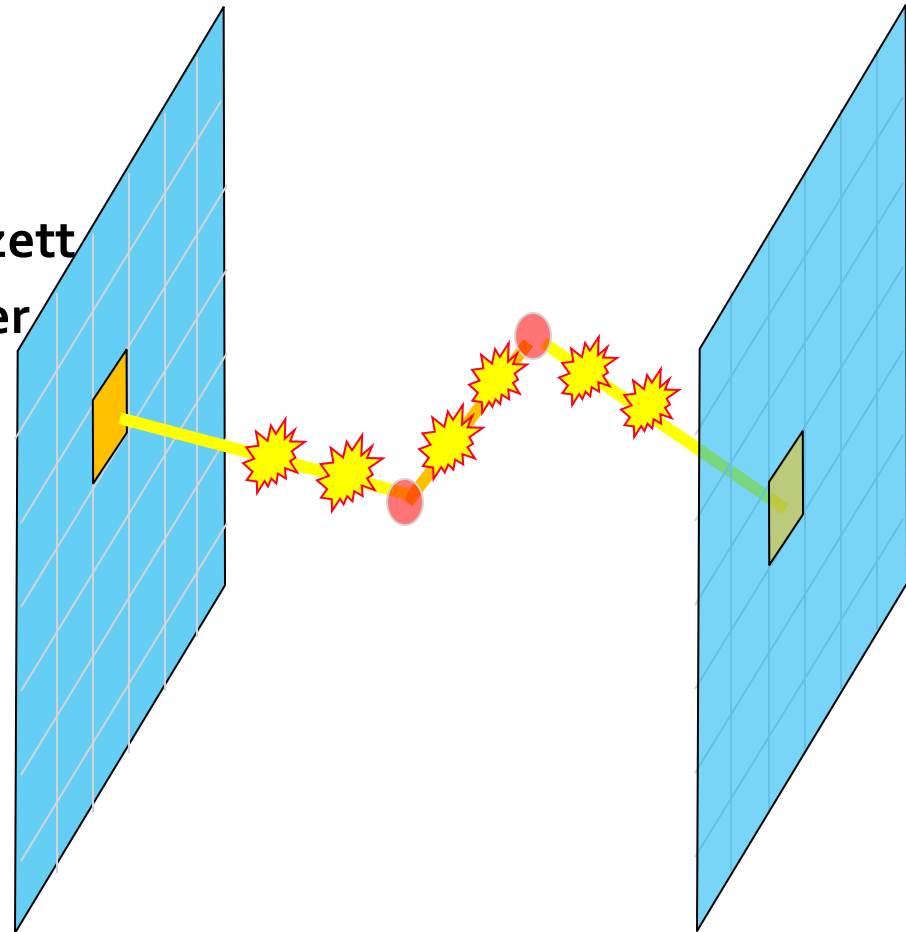
Szóródásmodell (kétszeres)

- Alapötlet: utak újrafelhasználása
- 4: Utak kombinálása, LOR-onként
 - Eredmény: 3-hosszú törtvonalak
 - Minden, a törtvonalon keletkezett fotonpár tagjai összesen kétszer szóródtak
 - A szóródási pontokat összekötő szakaszok **minden LOR-ra azonosak!**



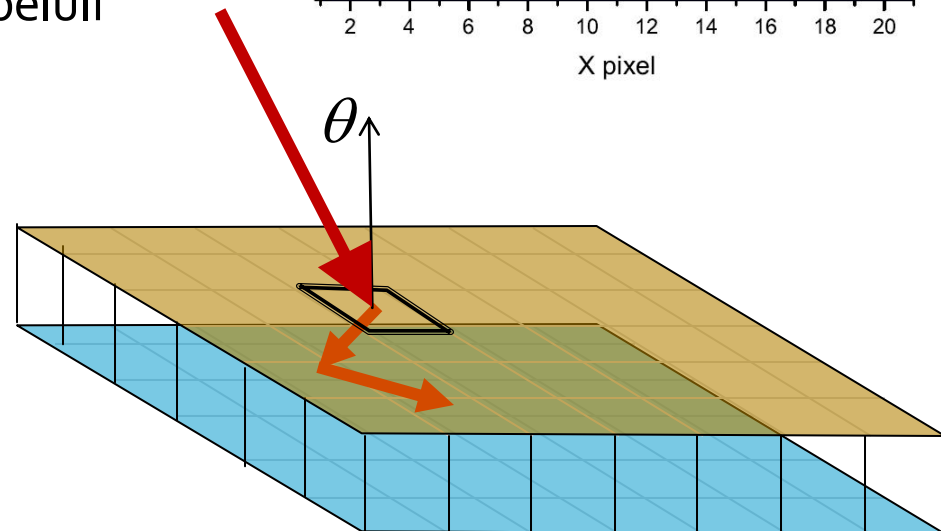
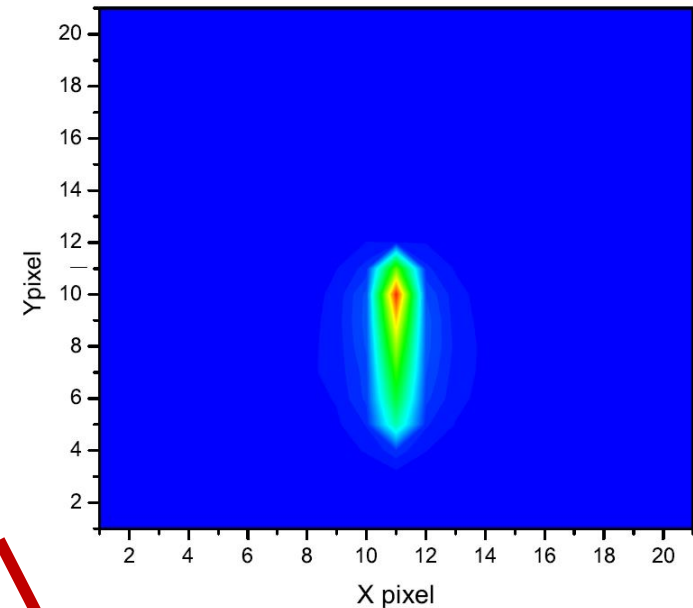
Szóródásmodell (kétszeres)

- Alapötlet: utak újrafelhasználása
- 4: Utak kombinálása, LOR-onként
 - Eredmény: 3-hosszú törtvonalak
 - **Minden, a törtvonalon keletkezett fotonpár tagjai összesen kétszer szóródtak**
 - A szóródási pontokat összekötő szakaszok **minden LOR-ra azonosak!**



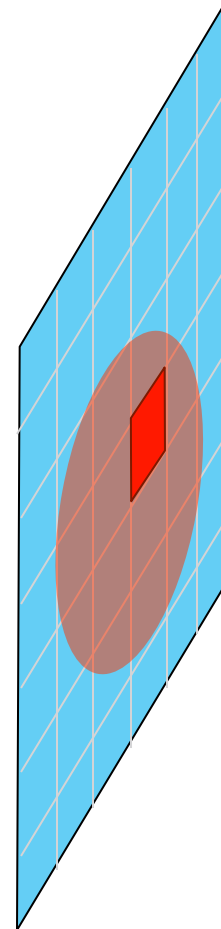
Detektormodell

- A detektoron belüli szóródás független a méréstől (nem cseréljük ki a kristályokat)
- Annak a valószínűsége, hogy a beérkező foton a detektoron belül hogyan szóródik, csak a beesési iránytól függ
 - És a foton energiájától, de ettől most eltekintünk
- Előre leszimulálható a detektoron belüli szóródás eloszlása: „csóvák”
- A két foton szóródása független
 - Elegendő fotononként szimulálni

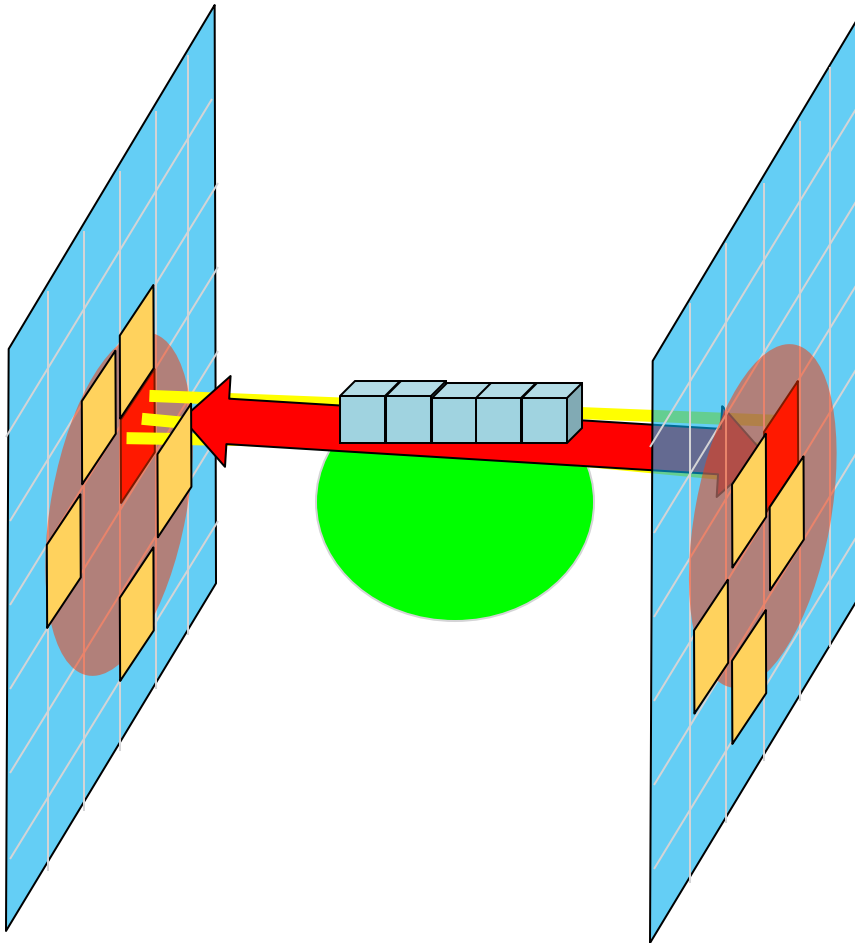


Detektormodell

- Ha egy adott detektort vizsgálunk, csak a csóván belülről, a csóva által meghatározott valószínűséggel érkezhettek fotonok



Detektormodell



1. Detektormodell nélküli előrevetítés
2. Offline (fontosság szerint) generált *index-offset* minták alapján a már kiszámolt értékek *kiolvasása*, *konvolúció* (*összeadás*)

Számítási költség elhanyagolható a ray-marchinghoz képest, így jóval több mintát is vehetünk